

JAERI-Data/Code
2000-029



JP0050831



格子ボルツマン法による
二相流シミュレーションコードの開発並びに並列化

2000年9月

渡辺 正・海老原 健一・伊藤 豪一*・河野 浩二*

日本原子力研究所
Japan Atomic Energy Research Institute

本レポートは、日本原子力研究所が不定期に公刊している研究報告書です。

入手の問い合わせは、日本原子力研究所研究情報部研究情報課（〒319-1195 茨城県那珂郡東海村）あて、お申し越し下さい。なお、このほかに財団法人原子力弘済会資料センター（〒319-1195 茨城県那珂郡東海村日本原子力研究所内）で複写による実費頒布を行っております。

This report is issued irregularly.

Inquiries about availability of the reports should be addressed to Research Information Division, Department of Intellectual Resources, Japan Atomic Energy Research Institute, Tokai-mura, Naka-gun, Ibaraki-ken 〒319-1195, Japan.

© Japan Atomic Energy Research Institute, 2000

編集兼発行 日本原子力研究所

格子ボルツマン法による
二相流シミュレーションコードの開発並びに並列化

日本原子力研究所計算科学技術推進センター
渡辺 正・海老原 健一・伊藤 豪一*・河野 浩二*

(2000年7月24日 受理)

格子ボルツマン法による3次元二成分二相流シミュレーションコードを作成し、MPIライブラリを用いて並列化を行った。サンプル問題として上昇気泡及び気泡の合体のシミュレーションを行い、上昇速度、気泡周囲の流れ場等に関して妥当な結果を得た。異なる機種ワークステーションからなるクラスターを用い、計算速度に応じた領域分割を行うことによりシミュレーションを行った。データ転送量が増えるにつれて計算効率は低下したが、実用上十分な並列化効率を得られた。

Development of a Two-phase Flow Simulation Code
Using the Lattice Boltzmann Method and Its Parallelization

Tadashi WATANABE, Ken-ichi EBIHARA, Goichi ITO* and Koji KOHNO*

Center for Promotion of Computational Science and Engineering
(Tokai Site)
Japan Atomic Energy Research Institute
Tokai-mura, Naka-gun, Ibaraki-ken

(Received July 24 , 2000)

A three-dimensional two-component two-phase flow simulation code using the lattice Boltzmann method has been developed and parallelized using the MPI library. Rising bubbles and their coalescence were simulated as sample problems and reasonable results were obtained for the rising velocity and the flow field around the bubble. Numerical simulations were performed on a cluster composed of different workstations by using the domain decomposition according to the calculation speed. Reasonable efficiency of parallelization was obtained though the efficiency was degraded as the amount of data transfer increased.

Keywords : Two-phase Flow, Lattice Boltzmann Method, Parallelization, MPI
Library

* Fuji Research Institute Corporation

目 次

1. はじめに	1
2. 格子ボルツマン法	3
2.1 格子形状	3
2.2 単相流モデル	5
2.3 二成分二相流モデル	13
3. シミュレーションコードの並列化	27
3.1 メインプログラム	27
3.2 データ転送 : サブルーチン exchange0	29
3.3 移動 : サブルーチン stream	32
3.4 密度と速度 : サブルーチン cal_rho_v	33
3.5 衝突項 : サブルーチン collision	34
3.6 転送 : サブルーチン exchange2	36
3.7 表面張力 : サブルーチン cal_omega	41
3.8 粒子の再配置 : サブルーチン recoloring	43
3.9 境界条件 : サブルーチン set_boundary	45
3.10 出力データ集約 : サブルーチン gather	50
3.11 データ出力 : サブルーチン filtering	51
4. 並列計算	54
4.1 上昇気泡のシミュレーション	54
4.2 並列化効率	57
4.3 異なるタイプのワークステーションからなるクラスターの場合	58
5. まとめ	60
参考文献	61

Contents

1. Introduction	1
2. Lattice Boltzmann Method	3
2.1 Lattice Configuration	3
2.2 Single-phase Flow Model	5
2.3 Two-component Two-phase Flow Model	13
3. Parallelization of Simulation Code	27
3.1 Main Program	27
3.2 Data Transfer : Subroutine Exchange0	29
3.3 Traveling : Subroutine Stream	32
3.4 Density and Velocity : Subroutine Cal_rho_v	33
3.5 Collision Term : Subroutine Collision	34
3.6 Data Transfer : Subroutine Exchange2	36
3.7 Surface Tension : Subroutine Cal_omega	41
3.8 Redistribution of Particles : Subroutine Recoloring	43
3.9 Boundary condition : Subroutine Set_boundary	45
3.10 Summation of Output Data : Subroutine Gather	50
3.11 Output Data : Subroutine Filtering	51
4. Parallel Computation	54
4.1 Simulation of Rising Bubble	54
4.2 Efficiency of Pallalelization	57
4.3 In Case of the Cluster with Different Type of Workstations	58
5. Summary	60
References	61

1. はじめに

日本原子力研究所計算科学技術推進センターでは、原子力分野で見られる複雑現象として、代表的な伝熱・流動現象をとりあげ、その基礎過程を計算機シミュレーションを通して解明する研究を進めている。流動現象の解析は、通常、ナビエ・ストークス方程式に代表されるマクロな連続流体の微分方程式を数値的に解くことによって行われているが、原子炉の熱流動としてもっとも基本的かつ重要である二相流現象の解析にあたっては、基礎方程式や数値解法に何らかの仮定を施す必要がある。これは、二相流では二相の界面の形状が不規則に変化することや、分散していた相が合体したり、一つの相が分裂することにより自由表面の生成消滅が不規則に起こり、流動様式が変化するためである。解析においては、それぞれの相内部は単相流の扱いで良いが、単相流の境界としての二相界面では、気相と液相、界面形状の変化などを同時に扱う必要がある。なめらかな界面を持つ水平層状流や自由表面流のような場合には界面を境界として気相、液相それぞれを単相流として計算することができるが、気泡や液滴を多数含んだり、混合が激しい流れでは、液相の体積率関数の輸送方程式を用いたり、気相のポイド率により液相と気相の方程式をカップリングさせる方法が用いられる。この場合、界面を通しての運動量やエネルギー輸送の評価には実験相関式や経験的な仮定などを用いることが多い [1]。

熱流動現象は、多数の流体の原子・分子、あるいは流体の微小な塊としての流体粒子（流体要素）による集団的な運動であると考え、粒子の運動を追跡しその統計的な平均値として流れ場の温度、速度などの流動状態を求める粒子法と呼ばれる数値解法がある。粒子法には、ミクロなレベルで原子・分子の運動を扱う直接シミュレーションモンテカルロ法 [2] や、分子動力学法 [3]、メソスコピックないしはマクロなレベルで流体粒子を扱う格子ガス系の手法 [4]、スモースパティクル系の手法 [5] 等がある。これら代表的な粒子法のうち直接シミュレーションモンテカルロ法は、希薄気体の解析のためにボルツマン方程式を解く手法として発展してきたもので、流れ場の代表長さに対する粒子の平均自由行程の比が 0.01 程度以上の場合に用いられる。それ以下の場合、信頼できる結果を得るためには膨大な数の粒子が必要となり現在のスーパーコンピュータのレベルでも不十分となる。すなわち、直接シミュレーションモンテカルロ法単独で、液相あるいは二相流を扱うことはできない。分子動力学法は、分子間に働く力をポテンシャルから求めて運動方程式を解くため、粒子数が多くなると力の計算に多くの計算時間が必要となる。また、計算できるサイズが分子の大きさのオーダーであるため、二相流の計算を行う際に扱える現象としては、二相界面での蒸発・凝縮に関わる分子運動や分子レベルでのミクロな流体モードといった現象に限られる。格子ガス系の手法は、物理的な空間を格子で置き換え、格子上に限定された仮想的な流体粒子の運動で流体现象を模擬するもので、多くの流体现象の計算が効率的に行えるにもかかわらず、非物理的な制約も多い。しかし、ボルツマン方程式の採用などにより、二相流に限らず、多くの流動現象が現実的な時間と精度で計算できるようになってきており、今後、応用が広がるものと思われる。スモースパティクル系の手法やその他の粒子法は、流動現象の計算に対しては発展段階であり、仮定や制限も多く定性的な流れのパターンなどが議論されることが多い。

粒子法は、分子運動に起因する統計的な変動を平均的な流れ場と同時に求めたり、複雑な流路の模擬や相界面の形状変化を記述するのに優れているが、変動の少ない定常的な流れ場を再現す

るためには統計平均数を多くする必要があり、一般に多数の粒子が必要となる。近年、計算機やネットワークの進歩と並列計算技術の進展にともなって、多数の粒子を現実的な計算時間で扱うことが可能となってきており、今後、粒子法のような流動現象への適用が期待されている [6]。特に、ここ数年、これまで並列型のスーパーコンピュータでなければ計算できなかったような大規模かつ長時間の計算が、ワークステーションやパソコンレベルで計算できるようになってきている。このため、ワークステーションやパソコンをネットワークで接続したクラスターを利用した並列計算の技術が、経済性や取り扱いの容易さといった点で重要性を増してきている。

二相流現象の数値解析への応用が期待される粒子法の一つとして、格子ガス系の手法のうちもっともシンプルなモデルによる 2 次元二相流シミュレーションコードについては、既に、コードの構造と並列化の概要、ワークステーションクラスターを用いた並列計算等について検討を行った [7, 8]。本報告書では、格子ガス法の欠点を補う手法として発展してきた格子ボルツマン法による 3 次元二相流のシミュレーションコードについて記述する。格子ボルツマン法は、時間空間に関して離散化を行った格子ボルツマン方程式を基礎方程式とし、従属変数である分布関数の時間発展を計算するものである。これは、格子ガス法において粒子の有無を 1 と 0 の整数で表していたのに対し、粒子の存在の期待値を実数で表すことに対応している。すなわち、分布関数は粒子の有無についての時間平均に対応しており、格子ガス法の欠点の一つであった雑音の問題を解消したものとなっている。以下では、まず手法の概要を基本的な单相流モデルにより示し、次に二相流モデルに関して基礎方程式と巨視的流体方程式の対応を示す。シミュレーションコードは FORTRAN 言語により作成し、MPI ライブラリを用いて並列化を行う。サンプル問題は、上昇気泡のシミュレーションとした。

2. 格子ボルツマン法

格子ボルツマン法は、物理空間を格子により離散化し、仮想的な流体粒子の格子上的移動と衝突により巨視的な流体挙動を模擬する計算モデルである。格子ボルツマン法で扱う粒子は、格子ガス法のように粒子の有無を示すブーリアン変数（整数）ではなく、存在の期待値を示す分布関数（実数）により表される。すなわち、分布関数の格子上的時間発展を求めるものであり、これは、分布関数の位相空間での時間発展を表すボルツマン方程式を離散化した格子ボルツマン方程式の数値計算を行うことに対応している。分布関数を用いるため、格子ガス法においてなめらかな流れ場を得るために必要とされた時間方向の粗視化は、格子ボルツマン法では必要がなく、格子ガス法の欠点の一つである解に含まれる雑音の問題は解消されている。ただし、変数が整数から実数になることにより、格子ガス法における計算速度やメモリー容量などの計算効率に関する利点は失われている。

以下では、まず格子ボルツマン法の基本となる单相流のモデルについて格子ボルツマン方程式とナビエ-ストークス方程式の対応を示し、次に2成分2相流モデルの詳細を記述する。

2.1 格子形状

2.1.1 3次元15速度モデル

3次元の格子モデルは15速度、19速度などの幾つかのモデルが提唱されているが、計算効率の観点から、Fig.2.1に示される3次元の最小格子単位である3次元15速度モデル(3D15V)を用いる。

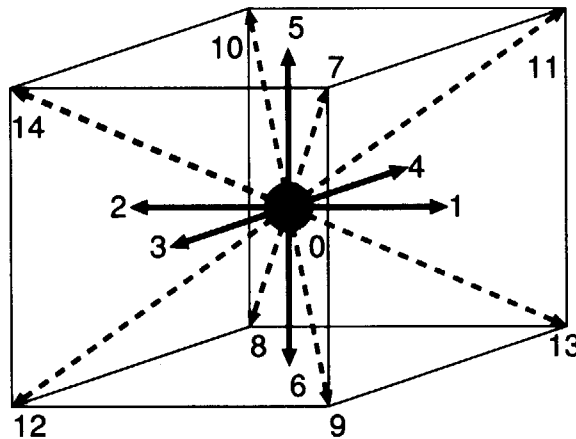


Fig. 2.1 Lattice structure for 3D15V model

3D15Vモデルは、14方向($e_i, i = 1, \dots, 14$)の速度を持つ粒子と一つの静止粒子(e_0)を仮定したモデルである。単位格子は立方体によって構成され、6つの最近接近傍(面の中心方向)と8つの第2近接近傍(各頂点方向)が存在し、各近傍に格子が継っている。この格子は面心立方格子(FCC)と呼ばれている。

仮想粒子は、各タイムステップにおいて、ひとつの格子点から継っている近傍の格子点にのみ移動できる。その速さ $|e_i|$ は格子方向により3種類に分類される。各タイプの実速度ベクトルは格子点を原点として、

$$\text{Type 0 } (\sigma = 0) : \begin{pmatrix} 0 \\ 0 \\ 0 \end{pmatrix} \quad (i = 0) \quad (2.1)$$

$$\text{Type 1 } (\sigma = 1) : \begin{pmatrix} \pm 1 \\ 0 \\ 0 \end{pmatrix}, \begin{pmatrix} 0 \\ \pm 1 \\ 0 \end{pmatrix}, \begin{pmatrix} 0 \\ 0 \\ \pm 1 \end{pmatrix} \quad (i = 1, \dots, 6) \quad (2.2)$$

$$\text{Type 2 } (\sigma = 2) : \begin{pmatrix} \pm 1 \\ \pm 1 \\ \pm 1 \end{pmatrix}, \begin{pmatrix} \pm 1 \\ \pm 1 \\ \mp 1 \end{pmatrix}, \begin{pmatrix} \pm 1 \\ \mp 1 \\ \pm 1 \end{pmatrix}, \begin{pmatrix} \pm 1 \\ \mp 1 \\ \mp 1 \end{pmatrix} \quad (i = 7, \dots, 14) \quad (2.3)$$

と表される(複号同順)。また、各タイプの速さ $c_i = |e_i^2|$ は

$$\text{Type 0 } \quad (i = 0) \quad : \quad |e_0|^2 = 0 \quad (2.4)$$

$$\text{Type 1 } \quad (i = 1 \dots 6) \quad : \quad |e_i|^2 = 1 \quad (2.5)$$

$$\text{Type 2 } \quad (i = 7 \dots 14) \quad : \quad |e_i|^2 = 3 \quad (2.6)$$

となる。 σ の値により、 i の範囲が異なる事に注意する。

2.1.2 格子テンソル

各格子方向のベクトルに関する各階のテンソルは、以下のようになる。ここで、

$$\sum'_i = \begin{cases} \sum_{i=1}^6 & \sigma = 1 \\ \sum_{i=7}^{14} & \sigma = 2 \end{cases} \quad (2.7)$$

とする。

奇数次数は全て0であり、

$$\sum'_i e_{i\alpha} = 0 \quad (2.8)$$

$$\sum'_i e_{i\alpha} e_{i\beta} e_{i\gamma} = 0 \quad (2.9)$$

$$\sum'_i e_{i\alpha} e_{i\beta} e_{i\gamma} e_{i\theta} e_{i\xi} = 0 \quad (2.10)$$

2階および4階のテンソルは、式(2.11) および(2.12) で表される。

$$\sum'_i e_{i\alpha} e_{i\beta} = \frac{b_\sigma C_\sigma^2}{D} \delta_{\alpha\beta} \quad (2.11)$$

$$\sum'_i e_{i\alpha} e_{i\beta} e_{i\gamma} e_{i\theta} = \phi_\sigma \Delta_{\alpha\beta\gamma\theta} + \psi_\sigma \delta_{\alpha\beta\gamma\theta} \quad (2.12)$$

ここで、 $\delta_{\alpha\beta}$ は Kronecker delata であり、

$$\delta_{\alpha\beta} = \begin{cases} 1 & \alpha = \beta \\ 0 & \alpha \neq \beta \end{cases} \quad (2.13)$$

D は格子の次元数 ($D = 3$)、 b_σ および C_α は 各々タイプ σ の格子数 ($b_0 = 1$ 、 $b_1 = 6$ 、 $b_2 = 8$) と格子長さ ($C_0 = 0$ 、 $C_1 = 1$ 、 $C_2 = \sqrt{3}$) である。また、

$$\Delta_{\alpha\beta\gamma\theta} = \delta_{\alpha\beta}\delta_{\gamma\theta} + \delta_{\alpha\gamma}\delta_{\beta\theta} + \delta_{\alpha\theta}\delta_{\beta\gamma} \quad (2.14)$$

$$\delta_{\alpha\beta\gamma\theta} = \delta_{\alpha\beta}\delta_{\beta\gamma}\delta_{\gamma\theta} \quad (2.15)$$

であり、 ϕ 、 ψ はモデルに依存する係数である。3D15V モデルでは

σ	ϕ	ψ
0	0	0
1	0	2
2	8	-16

となる。ギリシャ文字のサブスクリプトは、インデックス i 格子方向における、座標方向のコンポーネントを表す。また、以下の表記において、

$$\sum_{i\sigma} = \sum_{\sigma} \sum_i' \quad (2.16)$$

とする。

2.2 単相流モデル

2.2.1 概要

単相流に対する 格子ボルツマン方程式は以下の様に表わされる。

$$f_i(\mathbf{x} + \mathbf{e}_i, t + 1) - f_i(\mathbf{x}, t) = \Omega_i(f_i(\mathbf{x}, t)) \quad (2.17)$$

ここで、 $f_i(\mathbf{x}, t)$ は格子方向 i に沿った空間 \mathbf{x} および 時刻 t に対して離散的な分布関数である。また、 \mathbf{e}_i は i 番目の格子方向の粒子の速度ベクトルを表す。さらに、 $\Omega_i(f_i(\mathbf{x}, t)) = \Omega_i$ は衝突項であり、各タイムステップにおいて、分布関数 $f_i(\mathbf{x}, t)$ を更新させるものである。

衝突項のモデルで最も広く用いられているものは、BGK 近似と呼ばれるモデルであり、緩和時間 τ を用いて式 (2.18) のように表される。

$$\Omega_i^{(BGK)} = -\frac{1}{\tau}[f_i(\mathbf{x}, t) - f_i^{(eq)}(\mathbf{x}, t)] \quad (2.18)$$

また、この項は BGK オペレータ とも呼ばれている。

この BGK オペレータは位置 \mathbf{x} および時刻 t の局所平衡分布 $f_i^{(eq)}(\mathbf{x}, t)$ を用いて、 $f_i(\mathbf{x}, t) = f_i$ が平衡状態に緩和して行く過程を示している。巨視的な物理量である密度 ρ および運動量 $\rho \mathbf{u}$

は分布関数 f_i を用いて式 (2.19)、(2.20) により定義される。また、局所的な質量および運動量保存から平衡分布関数 $f_i^{(eq)}(\mathbf{x}, t)$ は、式 (2.21)、(2.22) の関係を満たしている。

$$\rho = \sum_{i\sigma} f_i \quad (2.19)$$

$$\rho \mathbf{u} = \sum_{i\sigma} f_i \mathbf{e}_i \quad (2.20)$$

$$\rho = \sum_{i\sigma} f_i^{(eq)} \quad (2.21)$$

$$\rho \mathbf{u} = \sum_{i\sigma} f_i^{(eq)} \mathbf{e}_i \quad (2.22)$$

格子ボルツマン方程式は、流体運動に対する連続の式 (2.23) および運動量保存 (2.24) の巨視的方程式を満たす。

$$\partial_t \rho + \partial_\alpha \rho u_\alpha = 0 \quad (2.23)$$

$$\partial_t \rho u_\alpha + \partial_\beta \rho u_\alpha u_\beta = \partial_\beta P_{\alpha\beta} + \partial_\alpha [\lambda \partial_\gamma u_\gamma] + \partial_\beta [\mu (\partial_\alpha u_\beta + \partial_\beta u_\alpha)] + \rho K_\alpha \quad (2.24)$$

ここで、 ρ は密度、 \mathbf{u} は局所速度 $P_{\alpha\beta}$ は圧力テンソル、 K_α は外力であり、 λ および μ は各々第二粘性係数およびバルクな粘性係数である。ギリシャ文字 $\alpha\beta \dots$ は空間に関するカーティアンであり、縮約をとる。

圧力テンソルは、

$$P_{\alpha\beta} = -p \delta_{\alpha\beta} \quad (2.25)$$

であたえられ、 p はバルク圧力であり、局所密度および音速 c_s に依存する。

$$p = C_s^2 \rho \quad (2.26)$$

以下には巨視的方程式の導入の詳細を示す。

2.2.2 平衡分布関数と巨視的方程式

2.2.2.1 平衡分布

格子ボルツマン法では、仮想粒子の平衡密度分布関数として、以下に示す Maxwell-Boltzmann 分布を仮定する。

$$f_i^{(eq)} = \frac{1}{\exp(h(\rho, \mathbf{u}) + \mathbf{q}(\rho, \mathbf{u}) \cdot \mathbf{e}_i)} \quad (2.27)$$

ここで、係数 h および \mathbf{q} を \mathbf{u} まわりで展開し、パリティ不変を考慮すると、

$$f_i^{(eq)} = f_i^{(eq)} (1 - h_1 u_\alpha^2 - q_1 u_\alpha e_{i\alpha} + \frac{1}{2} q_1^2 (u_\alpha e_{i\alpha})^2) + O(u^3) \quad (2.28)$$

となる。ここで、 u_α は速度、 $e_{i\alpha}$ は格子方向、 h_1 、 h_2 、 q_1 は ρ に依存する係数である。また、 $f_i^{(eq)}$ は平衡分布関数である。

密度 ρ 運動量 ρu_α は平衡分布関数 $f_i^{(eq)}$ からのみ決まり、

$$\sum_{i\sigma} f_i^{(eq)} \begin{pmatrix} 1 \\ e_{i\alpha} \end{pmatrix} = \begin{pmatrix} \rho \\ \rho u_\alpha \end{pmatrix} \quad (2.29)$$

となる。

$\mathbf{u} = 0$ を仮定し、 $f_i^{(eq)} = d_\sigma$ とすると、 $f_i^{(eq)}$ は

$$\sum_{i\sigma} f_i^{(eq)} = \sum_{i\sigma} d_\sigma \quad (2.30)$$

$$= \rho \quad (2.31)$$

を満たす。

式 (2.28) は

$$f_i^{(eq)} = d_\sigma (1 - h_1 u_\alpha^2 - q_1 u_\alpha e_{i\alpha} + \frac{1}{2} q_1^2 u_\alpha u_\beta e_{i\alpha} e_{i\beta}) \quad (2.32)$$

となる。ここで、 $O(u^3)$ の項は無視した。

式 (2.32) に $e_{i\alpha}$ を乗じたものと式 (2.32) に対しそれぞれ、 i および σ で和をとると、

$$\sum_{i\sigma} e_{i\alpha} f_i^{(eq)} = -q_1 u_\alpha \sum_{\sigma} \frac{b_\sigma C_\sigma^2}{D} d_\sigma \quad (2.33)$$

$$= \rho u_\alpha \quad (2.34)$$

$$\sum_{i\sigma} f_i^{(eq)} = \rho - h_1 u_\alpha^2 \rho + \frac{1}{2} \frac{\rho^2 D u_\alpha^2}{\sum_{\sigma} b_\sigma C_\sigma^2 d_\sigma} \quad (2.35)$$

$$= \rho \quad (2.36)$$

となり、

$$q_1 = -\frac{\rho D}{\sum_{\sigma} b_\sigma C_\sigma^2 d_\sigma} \quad (2.37)$$

および

$$h_1 = \frac{\rho D}{2(\sum_{\sigma} b_\sigma C_\sigma^2 d_\sigma)} \quad (2.38)$$

が得られる。

ここで、 $f_i^{(eq)}$ を

$$f_i^{(eq)} = A_\sigma (1 + B_\sigma (e_{i\alpha} u_\alpha) + C_\sigma (e_{i\alpha} u_\alpha)^2 + D_\sigma u_\alpha^2) \quad (2.39)$$

と仮定すると、係数 $A_\sigma, B_\sigma, C_\sigma, D_\sigma$ は、

$$\sum_{\sigma} A_\sigma = \rho \quad (2.40)$$

$$C_\sigma = \frac{1}{2} B_\sigma^2 \quad (2.41)$$

$$D_\sigma = -\frac{1}{2} B_\sigma \quad (2.42)$$

を満たさなければならない。

2.2.2.2 マルチスケール展開

巨視的方程式を導くために、格子ボルツマン方程式に対し時間および空間に関する Chapman-Enskog マルチスケール展開を行う。

BGK 近似を用いた格子ボルツマン方程式 (2.17) に対して Taylor 展開を行い 3 次以降を無視すると、

$$\partial_t f_i + e_{i\alpha} \partial_\alpha f_i + \frac{1}{2} \partial_i^2 f_i + e_{i\alpha} \partial_t \partial_\alpha f_i + \frac{1}{2} e_{i\alpha} e_{i\beta} \partial_\alpha \partial_\beta f_i = -\frac{1}{\tau} (f_i - f_i^{(eq)}) \quad (2.43)$$

となる。

各演算子はマルチスケール展開により、

$$\partial_t = \varepsilon \partial_{t_1} + \varepsilon^2 \partial_{t_2} \quad (2.44)$$

$$\partial_\alpha = \varepsilon \partial_\alpha \quad (2.45)$$

となる。ここで ε は Knudsen 数と関係する微小係数である。

また、 f_i を ε で展開し、2 次のオーダーまでとると、

$$f_i = \sum_{n=0}^{\infty} \varepsilon^n f_i^{(n)} = f_i^{(0)} + \varepsilon f_i^{(1)} + \varepsilon^2 f_i^{(2)} \quad (2.46)$$

となる。ここで、 $f_i^{(0)}$ は平衡分布関数であるから、

$$\sum_{i\sigma} f_i^{(n)} \begin{pmatrix} 1 \\ e_{i\alpha} \end{pmatrix} = \begin{pmatrix} 0 \\ 0 \end{pmatrix}, n \geq 1. \quad (2.47)$$

が満たされている。

さらに BGK オペレータは、

$$\Omega_i = -\frac{1}{\tau} [\varepsilon f_i^{(1)} + \varepsilon^2 f_i^{(2)} + \dots] \quad (2.48)$$

となる。

式 (2.46) を式 (2.43) に代入すれば、

ε^1 オーダーに対して、

$$\partial_{t_1} f_i^{(0)} + e_{i\alpha} \partial_\alpha f_i^{(0)} = -\frac{1}{\tau} f_i^{(1)} \quad (2.49)$$

ε^2 オーダーに対して、

$$\partial_{t_1} f_i^{(1)} + \partial_{t_2} f_i^{(0)} + e_{i\alpha} \partial_\alpha f_i^{(1)} + \frac{1}{2} (\partial_{t_1} + e_{i\alpha} \partial_\alpha)^2 f_i^{(0)} = -\frac{1}{\tau} f_i^{(2)} \quad (2.50)$$

からなる方程式が導出される。

2.2.2.3 密度および運動量

式 (2.29) より、係数 A 、 B 、 C 、 D の関係を求める。式 (2.29) の密度の定義は、

$$\sum_{i\sigma} f_i^{(eq)} = \rho \quad (2.51)$$

である。この左辺に、式 (2.39) を代入することによって、

$$\sum_{i\sigma} f_i^{(eq)} = \sum_{i\sigma} A_\sigma + \sum_{\sigma} (A_\sigma C_\sigma \frac{b_\sigma C_\sigma^2}{D}) u_\alpha^2 + \sum_{i\sigma} (A_\sigma D_\sigma) u_\alpha^2 \quad (2.52)$$

$$= \rho \quad (2.53)$$

がえられる。これにより、以下の関係が導かれる。

$$A_0 + 6A_1 + 8A_2 = \rho \quad (2.54)$$

$$2A_1 C_1 + 8A_2 C_2 + A_0 D_0 + 6A_1 D_1 + 8A_2 D_2 = 0 \quad (2.55)$$

運動量の定義は、

$$\sum_{i\sigma} e_{i\alpha} f_i^{(eq)} = \rho u_\alpha \quad (2.56)$$

である。式 (2.56) は密度と同様の手法により、

$$\sum_{i\sigma} e_{i\alpha} f_i^{(0)} = \sum_{\sigma} A_\sigma B_\sigma \frac{b_\sigma C_\sigma^2}{D} u_\alpha \quad (2.57)$$

$$= \rho u_\alpha \quad (2.58)$$

と変形できる。ここで、 b_σ 、 C_σ 、 D は各々 Type σ の方向ベクトルの数、音速、格子の次元数である。これより、

$$2A_1 B_1 + 8A_2 B_2 = \rho \quad (2.59)$$

の関係が導かれる。

2.2.2.4 ε^1 オーダーの連続の式の導出

式 (2.49) に対して、 σ および i で和をとると、

$$\partial_{t_1} \sum_{i\sigma} f_i^{(0)} + \partial_\alpha \sum_{i\sigma} e_{i\alpha} f_i^{(0)} = -\frac{1}{\tau} \sum_{i\sigma} f_i^{(1)} \quad (2.60)$$

となり、式 (2.29) 、 (2.47) を式 (2.60) に代入する事により、 ε^1 オーダーの連続の式が得られる。

$$\partial_{t_1} \rho + \partial_\alpha \rho u_\alpha = 0 \quad (2.61)$$

2.2.2.5 ε^2 オーダーの連続の式の導出

ε^2 オーダーの格子ボルツマン方程式 (2.50) は

$$\partial_{t_2} f_i^{(0)} + (1 - \frac{1}{2\tau})(e_{i\alpha} \partial_\alpha + \partial_{t_1}) f_i^{(1)} = -\frac{1}{\tau} f_i^{(2)} \quad (2.62)$$

と書き換えられる。式 (2.62) に対し ε^1 の場合と同様に和をとると、

$$\partial_{t_2} \sum_{i\sigma} f_i^{(0)} + (1 - \frac{1}{2\tau}) \sum_{i\sigma} \partial_{t_1} f_i^{(1)} + (1 - \frac{1}{2\tau}) \sum_{i\sigma} e_{i\alpha} \partial_\alpha f_i^{(1)} = -\frac{1}{\tau} \sum_{i\sigma} f_i^{(2)} \quad (2.63)$$

となり、式 (2.29) 、 (2.47) を用いると、 ε^2 の連続の式

$$\partial_{t_2} \rho = 0 \quad (2.64)$$

が得られる。

2.2.2.6 ε^1 オーダーの運動方程式の導出

式 (2.49) に $e_{i\alpha}$ を掛けて、連続の式と同様に和をとると、

$$\partial_{t_1} \sum_{i\sigma} f_i^{(0)} e_{i\alpha} + \sum_{i\sigma} \partial_\beta e_{i\beta} f_i^{(0)} e_{i\alpha} = -\frac{1}{\tau} \sum_{i\sigma} f_i^{(1)} e_{i\alpha} \quad (2.65)$$

となる。式 (2.29)、(2.47) を用いて式 (2.65) を整理すると、

$$\partial_{t_1}(\rho u_\alpha) + \partial_\beta \sum_{i\sigma} (e_{i\alpha} e_{i\beta} f_i^{(0)}) = 0 \quad (2.66)$$

となり、運動量フラックステンソルを

$$\Pi_{\alpha\beta} = \sum_{i\sigma} e_{i\alpha} e_{i\beta} f_i \quad (2.67)$$

$$= \sum_n \sum_{i\sigma} e_{i\alpha} e_{i\beta} f_i^{(n)} \quad (2.68)$$

$$= \sum_n \Pi_{\alpha\beta}^{(n)} \quad (2.69)$$

と定義すると、式 (2.66) は、

$$\partial_{t_1} \rho e_{i\alpha} + \partial_\beta \Pi_{\alpha\beta}^{(0)} = 0 \quad (2.70)$$

と表せる。

一方、 ε^1 オーダーの巨視的方程式は

$$\partial_{t_1} \rho u_\alpha + \partial_\beta \rho u_\alpha u_\beta = -\partial_\beta p \delta_{\alpha\beta} \quad (2.71)$$

であるので、両者を比較する事により、

$$\Pi_{\alpha\beta}^{(0)} = p \delta_{\alpha\beta} + \rho u_\alpha u_\beta \quad (2.72)$$

という関係が得られる。

ここで、 $\Pi_{\alpha\beta}^{(0)}$ を式 (2.39) を用いて展開すると、

$$\Pi_{\alpha\beta}^{(0)} = \sum_{i\sigma} e_{i\alpha} e_{i\beta} f_i^{(0)} \quad (2.73)$$

$$= (2A_1 + 8A_2) \delta_{\alpha\beta} + (2A_1 C_1 - 16A_2 C_2) \delta_{\alpha\beta} u_\alpha u_\beta + 16A_2 C_2 u_\alpha u_\beta \\ + (8A_2 C_2 + 2A_1 D_1 + 8A_2 D_2) u_\alpha^2 \delta_{\alpha\beta} \quad (2.74)$$

が得られる。式 (2.72) を満たすためには式 (2.74) の係数に対して、

$$2A_1 + 8A_2 = p \quad (2.75)$$

$$16A_2 C_2 = \rho \quad (2.76)$$

$$2A_1 C_1 - 16A_2 C_2 = 0 \quad (2.77)$$

$$8A_2 C_2 + 2A_1 D_1 + 8A_2 D_2 = 0 \quad (2.78)$$

が満たされなければならない。

2.2.2.7 ε^2 オーダーの運動方程式の導出

$e_{i\alpha}$ を式 (2.50) に掛け、 σ および i で和をとると、

$$\partial_{t_2} \sum_{i\sigma} e_{i\alpha} f_i^{(0)} + (1 - \frac{1}{2\tau}) \partial_{t_1} \sum_{i\sigma} e_{i\alpha} f_i^{(1)} + (1 - \frac{1}{2\tau}) \partial_\beta \sum_{i\sigma} e_{i\alpha} e_{i\beta} f_i^{(1)} + = -\frac{1}{\tau} \sum_{i\sigma} e_{i\alpha} f_i^{(2)} \quad (2.79)$$

となる。式 (2.29)、(2.47) および (2.67) を用いると、式 (2.79) は、

$$\partial_{t_2} \rho u_{i\alpha} + (1 - \frac{1}{2\tau}) \partial_\beta f_\beta \Pi_{\alpha\beta}^{(1)} = 0 \quad (2.80)$$

と計算できる。

一方、 ε^2 オーダーの巨視的方程式は、

$$\partial_{t_2} \rho u_\alpha - \partial_\beta [\mu (\partial_\alpha u_\beta + \partial_\beta u_\alpha)] - \partial_\alpha (\lambda \partial_\gamma u_\gamma) = 0 \quad (2.81)$$

と記述される。ここで、 λ および μ は第二粘性係数、バルクな粘性係数である。

ここで、式 (2.81) と (2.80) を比較する。

$$\Pi_{\alpha\beta}^{(1)} = -[\mu (\partial_\alpha u_\beta + \partial_\beta u_\alpha)] - (\lambda \partial_\gamma u_\gamma) \delta_{\alpha\beta} \quad (2.82)$$

が満たされれば、 ε^2 オーダーの巨視的方程式を満足する事となる。

ここで、式 (2.49)、(2.72) を用いると、 $\Pi_{\alpha\beta}^{(1)}$ は

$$\Pi_{\alpha\beta}^{(1)} = \sum_{i\sigma} e_{i\alpha} e_{i\beta} f_i^{(1)} \quad (2.83)$$

$$= (-\tau) \partial_{t_1} \{ \rho u_\alpha u_\beta + p \delta_{\alpha\beta} \} + (-\tau) \partial_\gamma \sum_{i\sigma} e_{i\alpha} e_{i\beta} e_{i\gamma} f_i^{(0)} \quad (2.84)$$

と計算でき、さらに、式 (2.26)、(2.39)、(2.61) および (2.72) を用いて、

$$\begin{aligned} \Pi_{\alpha\beta}^{(1)} = & (-\tau) \{ (a_2 - C_s^2) u_\beta \partial_\alpha \rho + (a_2 - C_s^2) u_\alpha \partial_\beta \rho + (a_2 - C_s^2) \partial_\gamma (\rho u_\gamma) \\ & + (a_1 - 2a_2) \partial_\gamma (\rho u_\gamma \delta_{\alpha\beta\gamma}) + a_2 \rho \partial_\alpha u_\beta + a_2 \rho \partial_\beta u_\alpha \} \end{aligned} \quad (2.85)$$

が得られる。ここで、

$$2A_1 B_1 = a_1 \rho \quad (2.86)$$

$$8A_2 B_2 = a_2 \rho \quad (2.87)$$

とした。式 (2.82) を満たすためには、式 (2.85) の係数は、

$$a_1 = 2a_2 \quad (2.88)$$

$$a_2 = C_s^2 \rho \quad (2.89)$$

すなわち、

$$A_1 B_1 = 8A_2 B_2 \quad (2.90)$$

$$8A_2 B_2 = C_s^2 \rho \quad (2.91)$$

が満足されなくてはならない。

これにより、 ε^2 オーダーの格子ボルツマン方程式は、

$$\partial_{t_2} \rho u_\alpha + \left(\frac{1}{2} - \tau\right) \partial_\beta (C_s^2 \rho) \{ \partial_\beta u_\alpha + \partial_\alpha u_\beta \} = 0 \quad (2.92)$$

となる。

ここで、 ε^2 オーダーの巨視的方程式 (2.81) と比較すると、バルクおよび第二粘性係数 μ 、 λ は

$$\mu = -\left(\frac{1}{2} - \tau\right) C_s^2 \rho \quad (2.93)$$

$$\lambda = 0 \quad (2.94)$$

となる。

2.2.2.8 平衡分布関数の決定

前節までに得られた、平衡分布関数中の係数が満たす関係を示す。

$$\sum_\sigma A_\sigma = \rho \quad (2.95)$$

$$C_\sigma = \frac{1}{2} B_\sigma^2 \quad (2.96)$$

$$D_\sigma = -\frac{1}{2} B_\sigma \quad (2.97)$$

$$A_0 + 6A_1 + 8A_2 = \rho \quad (2.98)$$

$$2A_1 C_1 + 8A_2 C_2 + A_0 D_0 + 6A_1 D_1 + 8A_2 D_2 = 0 \quad (2.99)$$

$$2A_1 B_1 + 8A_2 B_2 = \rho \quad (2.100)$$

$$2A_1 + 8A_2 = p \quad (2.101)$$

$$16A_2 C_2 = \rho \quad (2.102)$$

$$2A_1 C_1 - 16A_2 C_2 = 0 \quad (2.103)$$

$$8A_2 C_2 + 2A_1 D_1 + 8A_2 D_2 = 0 \quad (2.104)$$

$$A_1 B_1 = 8A_2 B_2 \quad (2.105)$$

$$8A_2 B_2 = C_s^2 \rho \quad (2.106)$$

ここで、式 (2.100)、(2.105)、(2.106) を用いる事により、音速は、

$$C_s^2 = \frac{1}{3} \quad (2.107)$$

と決定される。

さらに、式 (2.95) ~ (2.107) を用いて、

$$A_1 B_1 = \frac{1}{3} \rho \quad (2.108)$$

$$A_2 B_2 = \frac{1}{24} \rho \quad (2.109)$$

$$A_1 C_1 = \frac{1}{2}\rho \quad (2.110)$$

$$A_2 C_2 = \frac{1}{16}\rho \quad (2.111)$$

$$A_0 D_0 = -\frac{1}{3}\rho \quad (2.112)$$

$$A_1 D_1 = -\frac{1}{6}\rho \quad (2.113)$$

$$A_2 D_2 = -\frac{1}{48}\rho \quad (2.114)$$

が決定される。ここで、係数 A_σ の値は、式 (2.96) (2.108) ~ (2.114) を用ることにより得られ、

$$A_0 = \frac{2}{9}\rho \quad (2.115)$$

$$A_1 = \frac{1}{9}\rho \quad (2.116)$$

$$A_2 = \frac{1}{72}\rho \quad (2.117)$$

となる。

最終的な单相流 3D15V BGK モデルの平衡分布関数は以下のように決定される。

$$f_0^{(eq)} = \rho \left(\frac{2}{9} - \frac{1}{3}u^2 \right), \quad (\text{type 0}) \quad (2.118)$$

$$f_i^{(eq)} = \rho \left[\frac{1}{9} + \frac{1}{3}(\mathbf{e}_i \cdot \mathbf{u}) + \frac{1}{2}(\mathbf{e}_i \cdot \mathbf{u})^2 - \frac{1}{6}u^2 \right], \quad i = 1, \dots, 6 \quad (\text{type 1}) \quad (2.119)$$

$$f_i^{(eq)} = \frac{\rho}{8} \left[\frac{1}{9} + \frac{1}{3}(\mathbf{e}_i \cdot \mathbf{u}) + \frac{1}{2}(\mathbf{e}_i \cdot \mathbf{u})^2 - \frac{1}{6}u^2 \right], \quad i = 7, \dots, 14 \quad (\text{type 2}) \quad (2.120)$$

2.3 二成分二相流モデル

2.3.1 概要

二成分二相流 に対する格子ボルツマン方程式は单相流モデル同様以下の式で表現される。

$$f_i^k(\mathbf{x} + \mathbf{e}_i, t + 1) - f_i^k(\mathbf{x}, t) = \Omega_i^k(f_i(\mathbf{x}, t)) \quad (2.121)$$

ここで、 $f_i^k(\mathbf{x}, t)$ 、 $\Omega_i^k(f_i(\mathbf{x}, t))$ は k 成分粒子 (以下 k は r : red または b : blue とする) の分布関数および衝突項である。全粒子の分布関数は

$$f_i = \sum_k f_i^k \quad (2.122)$$

で表される。

各流体の密度は

$$\rho_r = \sum_{i\sigma} f_i^r = \sum_{i\sigma} f_i^{r(eq)} \quad (2.123)$$

$$\rho_b = \sum_{i\sigma} f_i^b = \sum_{i\sigma} f_i^{b(eq)} \quad (2.124)$$

で定義され、全粒子密度、運動量は

$$\rho = \sum_{i\sigma k} f_i^k = \sum_{i\sigma k} f_i^{k(eq)} \quad (2.125)$$

$$\rho \mathbf{u} = \sum_k \sum_{i\sigma} f_i^k \mathbf{e}_i = \sum_k \sum_{i\sigma} f_i^{k(eq)} \mathbf{e}_i \quad (2.126)$$

である。ここで、 ρ_r 、 ρ_b は赤および青粒子の密度であり、全粒子密度は $\rho = \rho_r + \rho_b$ となる。また、 \mathbf{u} は流速である。

衝突項 Ω_i^k は 2 つの項に分けてモデル化される。

$$\Omega_i^k = \Omega_i^{k(BGK)} + \Omega_i^{k(SF)} \quad (2.127)$$

第 1 項目 $\Omega_i^{k(BGK)}$ は、単相流に対する格子ボルツマン方程式で用いた BGK オペレータ (2.18) であり、

$$\Omega_i^{k(BGK)} = -\frac{1}{\tau_k} [f_i^k(\mathbf{x}, t) - f_i^{k(eq)}(\mathbf{x}, t)] \quad (2.128)$$

と表される。

ここで、 $f_i^{k(eq)}$ は k 流体の平衡分布関数、 τ_k は k 流体の緩和時間である。

第 2 項目 $\Omega_i^{k(SF)}$ は表面張力項であり、Grunau [9] により提唱されたモデルを用いる。

$$\Omega_i^{k(SF)} = A_k |\mathbf{F}| \left[\frac{(\mathbf{e}_i \cdot \mathbf{F})^2}{|\mathbf{e}_i|^2 |\mathbf{F}|^2} - G \right] \quad (2.129)$$

ここで、 A_k は k 流体の表面張力の強さを表すパラメータであり、 G は粒子数保存、運動量保存を示す格子に依存する係数である。また、 \mathbf{F} は局所的な色の傾き (local color gradient) であり、

$$\mathbf{F} = \sum_i \mathbf{e}_i [\rho_r(\mathbf{x} + \mathbf{e}_i, t) - \rho_b(\mathbf{x} + \mathbf{e}_i, t)] \quad (2.130)$$

と定義されている。

これらをまとめると、二成分二相流に対する格子ボルツマン方程式は以下のように表現される。

$$f_i^k(\mathbf{x} + \mathbf{e}_i, t+1) - f_i^k(\mathbf{x}, t) = -\frac{1}{\tau_k} [f_i^k(\mathbf{x}, t) - f_i^{k(eq)}(\mathbf{x}, t)] + A_k |\mathbf{F}| \left[\frac{(\mathbf{e}_i \cdot \mathbf{F})^2}{|\mathbf{e}_i|^2 |\mathbf{F}|^2} - G \right] \quad (2.131)$$

2.3.2 平衡分布関数と巨視的方程式

2.3.2.1 平衡分布

二相流における k 流体の平衡分布関数は、単相流同様 Maxwell-Boltzmann 分布を仮定する。単相流の場合の式 (2.39) と同様に、

$$f_i^{k(eq)} = A_\sigma^k (1 + B_\sigma^k (e_{i\alpha} u_\alpha) + C_\sigma^k (e_{i\alpha} u_\alpha)^2 + D_\sigma^k u_\alpha^2) \quad (2.132)$$

と表すと、 A_σ^k 、 B_σ^k 、 C_σ^k 、 D_σ^k は

$$\sum_\sigma A_\sigma^k = \rho_k \quad (2.133)$$

$$C_\sigma^k = \frac{1}{2} B_\sigma^{k2} \quad (2.134)$$

$$D_\sigma^k = -\frac{1}{2} B_\sigma^k \quad (2.135)$$

の関係をみます。ここで、 $f_i^{k(eq)}$ は

$$\sum_{i\sigma} f_i^{k(eq)} = \rho_k \quad (2.136)$$

及び

$$\sum_{i\sigma k} f_i^{k(eq)} \begin{pmatrix} 1 \\ e_{i\alpha} \end{pmatrix} = \begin{pmatrix} \rho \\ \rho u_\alpha \end{pmatrix} \quad (2.137)$$

を満たしている。 ρu_α 、 ρ_k 、 ρ は、各々運動量、 k 粒子および全粒子の密度である。

2.3.3 マルチスケール展開

単相流で用いたマルチスケール展開の手法を用いて、式 (2.131) から出発して、巨視的方程式の導出を行う。

各微分演算子は、微小パラメータ ε を用いて

$$\partial_t = \varepsilon \partial_{t_1} + \varepsilon^2 \partial_{t_2} \quad (2.138)$$

$$\partial_\alpha = \varepsilon \partial_\alpha \quad (2.139)$$

と展開でき、さらに式 (2.131) を Taylor 展開すると、

$$\begin{aligned} & \partial_t f_i^k + e_{i\alpha} \partial_\alpha f_i^k + \frac{1}{2} \partial_t^2 f_i^k + e_{i\alpha} \partial_t \partial_\alpha f_i^k + \frac{1}{2} e_{i\alpha} e_{i\beta} \partial_\alpha \partial_\beta f_i^k \\ = & -\frac{1}{\tau_k} (f_i^k - f_i^{k(eq)}) + A_k |\mathbf{F}| \left[\frac{(\mathbf{e}_i \cdot \mathbf{F})^2}{|\mathbf{e}_i|^2 |\mathbf{F}|^2} - G \right] \end{aligned} \quad (2.140)$$

となる。また、 f_i^k は

$$f_i^k = \sum_{n=0}^{\infty} \varepsilon^n f_i^{k(n)} = f_i^{k(0)} + \varepsilon f_i^{k(1)} + \varepsilon^2 f_i^{k(2)} + \dots, \quad (2.141)$$

となり、

$$\sum_{i\sigma} f_i^{k(n)} \begin{pmatrix} 1 \\ e_{i\alpha} \end{pmatrix} = \begin{pmatrix} 0 \\ 0 \end{pmatrix}, n \geq 1. \quad (2.142)$$

を満たす。

衝突項は

$$\Omega_i^k = -\frac{1}{\tau_k} [\varepsilon f_i^{k(1)} + \varepsilon^2 f_i^{k(2)} + \dots] + \Omega_i^{k(SF)} \quad (2.143)$$

と表される。

式 (2.121)、(2.127)、(2.141) を用いて ε^1 および ε^2 オーダーの二成分二相流格子ボルツマン方程式が得られる。

$$\partial_{t_1} f_i^{k(0)} + e_{i\alpha} \partial_\alpha f_i^{k(0)} = -\frac{1}{\tau_k} f_i^{k(1)} + \Omega_i^{k(SF)} \quad (2.144)$$

$$\partial_{t_1} f_i^{k(1)} + \partial_{t_2} f_i^{k(0)} + e_{i\alpha} \partial_\alpha f_i^{k(1)} + \frac{1}{2} (\partial_{t_1} + e_{i\alpha} \partial_\alpha)^2 f_i^{k(0)} = -\frac{1}{\tau_k} f_i^{k(2)} \quad (2.145)$$

2.3.4 密度および運動量

式 (2.136) および (2.137) から、二相流における平衡分布関数の係数および、表面張力項の係数 (A^k, B^k, C^k, D^k, G) の関係を求める。

k 流体および全体の密度は、式 (2.136) によって定義されている。

$$\sum_{i\sigma} f_i^{k(0)} = \rho_k \quad (2.146)$$

$$\sum_k \rho_k = \sum_{i\sigma k} f_i^{k(0)} = \rho \quad (2.147)$$

式 (2.132) を式 (2.146) の左辺に代入し、式 (2.8), (2.9), (2.11) (2.12) を用いると、

$$\sum_{i\sigma} f_i^{k(0)} = \sum_{i\sigma} A_\sigma^k + \sum_{\sigma} (A_\sigma^k C_\sigma^k \frac{b_\sigma C_\sigma^2}{D}) u_\alpha^2 + \sum_{i\sigma} (A_\sigma^k D_\sigma^k) u_\alpha^2 \quad (2.148)$$

$$= \rho_k \quad (2.149)$$

の関係が得られ、これにより、

$$A_0^k + 6A_1^k + 8A_2^k = \rho_k \quad (2.150)$$

$$\sum_k (2A_1^k C_1^k + 8A_2^k C_2^k + A_0^k D_0^k + 6A_1^k D_1^k + 8A_2^k D_2^k) = 0 \quad (2.151)$$

および

$$\sum_k (A_0^k + 6A_1^k + 8A_2^k) = \rho \quad (2.152)$$

の関係が導かれる。

運動量の定義は、

$$\sum_{i\sigma k} e_{i\alpha} f_i^{k(0)} = \rho u_\alpha \quad (2.153)$$

であり、密度と同様の手法により、

$$\sum_{i\sigma k} e_{i\alpha} f_i^{k(0)} = \sum_{\sigma k} A_\sigma^k B_\sigma^k \frac{b_\sigma C_\sigma^2}{D} u_\alpha \quad (2.154)$$

$$= \rho u_\alpha \quad (2.155)$$

となる。これより、

$$\sum_k (2A_1^k B_1^k + 8A_2^k B_2^k) = \rho \quad (2.156)$$

の関係が導かれる。

2.3.5 ε^1 オーダーの連続の式の導出

ε^1 オーダーの密度 ρ および運動量 ρu_α の関係は、式 (2.144) を σ, i および k で和をとる事により得られる。

$$\partial_{t_1} \sum_{i\sigma k} f_i^{k(0)} + \partial_\alpha \sum_{i\sigma k} e_{i\alpha} f_i^{k(0)} = - \sum_k \left(\frac{1}{\tau_k} \sum_{i\sigma} f_i^{k(1)} \right) + \sum_k \Omega_i^{k(SF)} \quad (2.157)$$

式 (2.157) に式 (2.137) および (2.142) を代入する事により、

$$\partial_{t_1} \rho + \partial_\alpha \rho u_\alpha = \sum_{i\sigma k} \Omega_i^{k(SF)} \quad (2.158)$$

となる。

ε^1 オーダーの連続の式は

$$\partial_{t_1} \rho + \partial_\alpha \rho u_\alpha = 0 \quad (2.159)$$

であるから、質量保存を満たすためには、 $\Omega_i^{k(SF)}$ について、

$$\sum_{i\sigma k} \Omega_i^{k(SF)} = 0 \quad (2.160)$$

が満たされなければならない。

ここで、 $\Omega_i^{k(SF)}$ は

$$\sum_{i\sigma k} \Omega_i^{k(SF)} = \sum_{i\sigma k} A_k | \mathbf{F} | \left[\frac{(\mathbf{e}_i \cdot \mathbf{F})^2}{|\mathbf{e}_i|^2 |\mathbf{F}|^2} - G \right] \quad (2.161)$$

$$= \sum_k \{ A_k | \mathbf{F} | \left(\frac{15}{3} - 15G \right) \} \quad (2.162)$$

と計算され、式 (2.162) は任意の k において成り立たなければならないから、係数 G は、

$$G = \frac{1}{3} \quad (2.163)$$

と決定される。

ε^1 オーダーの格子ボルツマン方程式の質量保存は、

$$\partial_{t_1} \rho + \partial_\alpha \rho u_\alpha = 0 \quad (2.164)$$

を満たす事となる。

2.3.6 ε^2 オーダーの連続の式の導出

格子ボルツマン方程式の ε^2 オーダーは

$$\partial_{t_1} f_i^{k(1)} + \partial_{t_2} f_i^{k(0)} + e_{i\alpha} \partial_\alpha f_i^{k(1)} + \frac{1}{2} (\partial_{t_0} + e_{i\alpha} \partial_\alpha)^2 f_i^{k(0)} = - \frac{1}{\tau} f_i^{k(2)} \quad (2.165)$$

である。

式 (2.165) に対して和をとり、式 (2.136)、(2.142)、(2.144)、(2.160) を利用して変形すると、 ε^2 オーダーの式

$$\partial_{t_2}\rho + \frac{1}{2}\partial_\alpha \sum_{i\sigma k} e_{i\alpha}\Omega_i^{k(SF)} = 0 \quad (2.166)$$

が得られる。ここで、第2項は

$$\sum_{i\sigma} e_{i\alpha}\Omega_i^{k(SF)} = \sum_{i\sigma} A_k |\mathbf{F}| e_{i\alpha} \left[\frac{e_{i\beta}e_{i\gamma}F_\beta F_\gamma}{|e_i|^2 F^2} - G \right] \quad (2.167)$$

$$= \frac{A_k}{|\mathbf{F}|} \sum_{i\sigma} \left\{ \frac{1}{C_\sigma^2} (e_{i\alpha}e_{i\beta}e_{i\gamma}F_\beta F_\gamma) \right\} - A |\mathbf{F}| \sum_{i\sigma} e_{i\alpha} G \quad (2.168)$$

$$= 0 \quad (2.169)$$

であるから、係数 G によらず 0 となる。

以上より、 ε^2 オーダーの連続の式

$$\partial_{t_2}\rho = 0 \quad (2.170)$$

が得られる。

また、 $\Omega_i^{k(SF)}$ は

$$\sum_{i\sigma k} \Omega_i^{k(SF)} \begin{pmatrix} 1 \\ e_{i\alpha} \end{pmatrix} = \begin{pmatrix} 0 \\ 0 \end{pmatrix} \quad (2.171)$$

を満足する。言い換えると、表面張力項のモデル化は、式 (2.171) を満足するようにモデル化されていると考える事が出来る。

2.3.7 ε^1 オーダーの運動方程式の導出

式 (2.144) に $e_{i\alpha}$ を乗じて和をとり、式 (2.136)、(2.142)、(2.171) を利用して、整理すると

$$\partial_{t_1}\rho u_\alpha + \partial_\beta \left(\sum_k \Pi_{\alpha\beta}^{(0)} \right) = 0 \quad (2.172)$$

が得られる。ここで、 $\Pi_{\alpha\beta}^{(n)} = \sum_{i\sigma} e_{i\alpha}e_{i\beta}f_i^{k(n)}$ であり、運動量テンソルを表す。

ε^1 オーダーの巨視的方程式は、

$$\partial_{t_1}\rho u_\alpha + \partial_\beta \rho u_\alpha u_\beta = -\partial_\beta p \delta_{\alpha\beta} \quad (2.173)$$

である。

式 (2.173) と (2.172) を比較する事により、 ε^1 オーダーの運動方程式は、

$$\sum_k \left(\Pi_{\alpha\beta}^{(0)} \right) = p \delta_{\alpha\beta} + \rho u_\alpha u_\beta \quad (2.174)$$

を満たす事が導かれる。

$\Pi_{\alpha\beta}^{(0)}$ は、

$$\Pi_{\alpha\beta}^{(0)} = \sum_{i\sigma} e_{i\alpha}e_{i\beta}f_i^{k(0)} \quad (2.175)$$

$$= (2A_1^k + 8A_2^k)\delta_{\alpha\beta} + (2A_1^k C_1^k - 16A_2^k C_2^k)\delta_{\alpha\beta} u_\alpha u_\beta + 16A_2^k C_2^k u_\alpha u_\beta \\ + (8A_2^k C_2^k + 2A_1^k D_1^k + 8A_2^k D_2^k) u^2 \delta_{\alpha\beta} \quad (2.176)$$

となり、式 (2.174) の条件から、式 (2.175) の係数は以下の関係を満たさなければならない。

$$\sum_k (2A_1^k + 8A_2^k) = p \quad (2.177)$$

$$\sum_k 16A_2^k C_2^k = \rho \quad (2.178)$$

$$\sum_k (2A_1^k C_1^k - 16A_2^k C_2^k) = 0 \quad (2.179)$$

$$\sum_k (8A_2^k C_2^k + 2A_1^k D_1^k + 8A_2^k D_2^k) = 0 \quad (2.180)$$

2.3.8 ε^2 オーダーの運動方程式の導出

$e_{i\alpha}$ を式 (2.145) に乗じて、 σ 、 i および k で和をとり、式 (2.136) , (2.142) , (2.160) および、(2.172) を用いて変形すると、

$$\sum_k \left[\left(1 - \frac{1}{2\tau_k}\right) \partial_\beta \Pi_{\alpha\beta}^{(1)} + \frac{1}{2} T_{\alpha\beta} \right] + \partial_{t_2} \rho u_\alpha = 0 \quad (2.181)$$

となる。 $T_{\alpha\beta}$ は次の様に定義される。

$$T_{\alpha\beta} = \sum_{i\sigma} e_{i\alpha} e_{i\beta} \Omega_i^{k(SF)} \quad (2.182)$$

一方、 ε^2 オーダーの巨視的方程式は、

$$\partial_{t_2} \rho u_\alpha - \partial_\beta [\mu (\partial_\alpha u_\beta + \partial_\beta u_\alpha)] - \partial_\alpha (\lambda \partial_\gamma u_\gamma) + \partial_\alpha P_{\alpha\beta} = 0 \quad (2.183)$$

である。ここで、 λ 、 μ は第二粘性係数およびバルクな粘性係数であり、また、 $P_{\alpha\beta}$ は圧力テンソルである。

式 (2.183) と (2.181) を比較する事により、 ε^2 オーダーに関する以下の関係が得られる。

$$\sum_k \Pi_{\alpha\beta}^{(1)} = -[\mu (\partial_\alpha u_\beta + \partial_\beta u_\alpha)] - (\lambda \partial_\gamma u_\gamma) \delta_{\alpha\beta} - P_{\alpha\beta} \quad (2.184)$$

式 (2.144) を用いて、 $\Pi_{\alpha\beta}^{(1)}$ を変形すると、

$$\Pi_{\alpha\beta}^{(1)} = \sum_{i\sigma} e_{i\alpha} e_{i\beta} f_i^{k(1)} \quad (2.185)$$

$$= (-\tau_k) \left[\partial_\gamma \sum_{i\sigma} e_{i\alpha} e_{i\beta} e_{i\gamma} f_i^{k(0)} + \partial_{t_1} \Pi_{\alpha\beta}^{(0)} - T_{\alpha\beta} \right] \quad (2.186)$$

となり、さらに、式 (2.132) を用いて、

$$\begin{aligned} \Pi_{\alpha\beta}^{(1)} = & (-\tau_k) [\partial_\beta (2A_1^k B_1^k - 16A_2^k B_2^k) \delta_{\alpha\beta} u_\beta \\ & + \partial_\gamma 8A_2^k B_2^k \delta_{\alpha\beta} u_\gamma + \partial_\beta 8A_2^k B_2^k u_\alpha + \partial_\alpha 8A_2^k B_2^k u_\beta + \partial_{t_1} \Pi_{\alpha\beta}^{(0)} - T_{\alpha\beta}] \end{aligned} \quad (2.187)$$

を得る。ここで、式 (2.187) に関して k で和をとるわけであるが、 k 流体に関する緩和時間パラメータは後述するように、ある時刻、ある位置においては、赤粒子、青粒子とも密度に依存する

$\tau(r, b)$ で表される同一の時間パラメータを用いる。このため、 $\tau_k = \tau(r, b)$ とでき、 k の和の外に出すことができる。

式 (2.187) を k で和をとり、式 (2.164)、(2.170)、(2.172)、(2.174) を用いると、 $\Pi_{\alpha\beta}^{(1)}$ は、

$$\begin{aligned} & \left(\frac{1}{2} - \tau(r, b)\right) \partial_\beta \{ \partial_\gamma (8a_2 - C_s^2) \rho u_\gamma \delta_{\alpha\beta} + \partial_\beta (2a_1 - 16a_2) \rho u_\beta \delta_{\alpha\beta} + u_\alpha \partial_\beta (8a_2 - C_s^2) \rho \\ & + u_\beta \partial_\alpha (8a_2 - C_s^2) \rho + 8a_2 \rho \partial_\beta u_\alpha + 8a_2 \rho \partial_\alpha u_\beta \} + \partial_{t_1} \rho u_\alpha + \tau(r, b) \partial_\beta T_{\alpha\beta} = 0 \end{aligned} \quad (2.188)$$

となる。ここで、

$$\sum_k A_1 B_1 = a_1 \rho \quad (2.189)$$

$$\sum_k A_2 B_2 = a_2 \rho \quad (2.190)$$

とした。式 (2.183) を満足するためには、式 (2.188) の係数は、

$$a_1 = 8a_2 \quad (2.191)$$

$$8a_2 = C_s^2 \rho \quad (2.192)$$

すなわち、

$$\sum_k A_1 B_1 = \sum_k 8A_2 B_2 \quad (2.193)$$

$$\sum_k 8A_2 B_2 = C_s^2 \rho \quad (2.194)$$

を満たさなければならない。

以上より、 ε^2 オーダーの巨視的方程式

$$\partial_{t_2} \rho u_\alpha + \partial_\alpha \tau(r, b) T_{\alpha\beta} + \left(\frac{1}{2} - \tau(r, b)\right) \partial_\beta (C_s^2 \rho) \{ \partial_\beta u_\alpha + \partial_\alpha u_\beta \} = 0 \quad (2.195)$$

が導出された。

バルク粘性係数 μ および第二粘性係数 λ は、

$$\mu = -\left(\frac{1}{2} - \tau(r, b)\right) C_s^2 \rho \quad (2.196)$$

$$\lambda = 0 \quad (2.197)$$

となる。

2.3.9 平衡分布関数の決定

全節までに得られた係数の関係をまとめると、

$$\sum_\sigma A_\sigma^k = \rho_k \quad (2.198)$$

$$C_\sigma^k = \frac{1}{2} B_\sigma^{k^2} \quad (2.199)$$

$$D_{\sigma}^k = -\frac{1}{2}B_{\sigma}^k \quad (2.200)$$

$$A_0^k + 6A_1^k + 8A_2^k = \rho_k \quad (2.201)$$

$$\sum_k (2A_1^k C_1^k + 8A_2^k C_2^k + A_0^k D_0^k + 6A_1^k D_1^k + 8A_2^k D_2^k) = 0 \quad (2.202)$$

$$\sum_k (A_0^k + 6A_1^k + 8A_2^k) = \rho \quad (2.203)$$

$$\sum_k (2A_1^k B_1^k + 8A_2^k B_2^k) = \rho \quad (2.204)$$

$$G = \frac{1}{3} \quad (2.205)$$

$$\sum_k (2A_1^k + 8A_2^k) = p \quad (2.206)$$

$$\sum_k 16A_2^k C_2^k = \rho \quad (2.207)$$

$$\sum_k (2A_1^k C_1^k - 16A_2^k C_2^k) = 0 \quad (2.208)$$

$$\sum_k (8A_2^k C_2^k + 2A_1^k D_1^k + 8A_2^k D_2^k) = 0 \quad (2.209)$$

$$\sum_k A_1 B_1 = 8A_2 B_2 \quad (2.210)$$

$$\sum_k 8A_2 B_2 = C_s^2 \rho \quad (2.211)$$

となる。

ここで、二相流動現象において一方の流体のみが存在する領域においても、上記の関係が成り立っていないなければならない。そのため、式 (2.198) ~ (2.211) の関係式は、以下の関係も満たしている。

$$\sum_{\sigma} A_{\sigma}^k = \rho_k \quad (2.212)$$

$$C_{\sigma}^k = \frac{1}{2}B_{\sigma}^{k2} \quad (2.213)$$

$$D_{\sigma}^k = -\frac{1}{2}B_{\sigma}^k \quad (2.214)$$

$$A_0^k + 6A_1^k + 8A_2^k = \rho_k \quad (2.215)$$

$$(2A_1^k C_1^k + 8A_2^k C_2^k + A_0^k D_0^k + 6A_1^k D_1^k + 8A_2^k D_2^k) = 0 \quad (2.216)$$

$$(2A_1^k B_1^k + 8A_2^k B_2^k) = \rho_k \quad (2.217)$$

$$G = \frac{1}{3} \quad (2.218)$$

$$(2A_1^k + 8A_2^k) = p_k \quad (2.219)$$

$$16A_2^k C_2^k = \rho_k \quad (2.220)$$

$$(2A_1^k C_1^k - 16A_2^k C_2^k) = 0 \quad (2.221)$$

$$(8A_2^k C_2^k + 2A_1^k D_1^k + 8A_2^k D_2^k) = 0 \quad (2.222)$$

$$A_1 B_1 = 8A_2 B_2 \quad (2.223)$$

$$8A_2 B_2 = C_s^2 \rho_k \quad (2.224)$$

2.212 ~ 2.224 より、

$$A_1^k B_1^k = \frac{1}{3} \rho_k \quad (2.225)$$

$$A_2^k B_2^k = \frac{1}{24} \rho_k \quad (2.226)$$

$$A_1^k C_1^k = \frac{1}{2} \rho_k \quad (2.227)$$

$$A_2^k C_2^k = \frac{1}{16} \rho_k \quad (2.228)$$

$$A_0^k D_0^k = -\frac{1}{3} \rho_k \quad (2.229)$$

$$A_1^k D_1^k = -\frac{1}{6} \rho_k \quad (2.230)$$

$$A_2^k D_2^k = -\frac{1}{48} \rho_k \quad (2.231)$$

の関係を得る。

ここで、係数 A_σ は式 (2.212) の関係を満たすように決定すれば良い。本モデルでは、 k 流体の静止粒子の割合を示す実数パラメータ λ_k を導入し、

$$A_0 = \frac{\lambda_k}{7 + \lambda_k} \rho_k \quad (2.232)$$

$$A_1 = \frac{1}{7 + \lambda_k} \rho_k \quad (2.233)$$

$$A_2 = \frac{1}{8} \left(\frac{1}{7 + \lambda_k} \rho_k \right) \quad (2.234)$$

と仮定する。

これにより、音速は

$$(C_s^k)^2 = \frac{3}{7 + \lambda_k} \quad (2.235)$$

と決定される。

以上より、二相流格子ボルツマン方程式の平衡分布関数は

$$f_0^{k(eq)} = \rho_k \left(\frac{\lambda_k}{7 + \lambda_k} - \frac{1}{3} u^2 \right), \quad (\text{type 0}) \quad (2.236)$$

$$f_i^{k(eq)} = \rho_k \left[\frac{1}{7 + \lambda_k} + \frac{1}{3} (\mathbf{e}_i \cdot \mathbf{u}) + \frac{1}{2} (\mathbf{e}_i \cdot \mathbf{u})^2 - \frac{1}{6} u^2 \right], \quad i = 1, \dots, 6 \quad (\text{type 1}) \quad (2.237)$$

$$f_i^{k(eq)} = \frac{\rho_k}{8} \left[\frac{1}{7 + \lambda_k} + \frac{1}{3} (\mathbf{e}_i \cdot \mathbf{u}) + \frac{1}{2} (\mathbf{e}_i \cdot \mathbf{u})^2 - \frac{1}{6} u^2 \right], \quad i = 7, \dots, 14 \quad (\text{type 2}) \quad (2.238)$$

と決定される。

2.3.10 巨視的方程式との対応

2.3.10.1 連続の式

格子ボルツマン方程式における ε^1 および ε^2 の連続の式 (2.164)、(2.170) の和をとると、

$$\varepsilon \partial_{t_1} \rho + \varepsilon \partial_\alpha \rho u_\alpha + \varepsilon^2 \partial_{t_2} \rho = 0 \quad (2.239)$$

となる。マルチスケール展開の演算子は、式 (2.138)、(2.139) で定義されており、

$$\partial_t = \varepsilon \partial_{t_1} + \varepsilon^2 \partial_{t_2} \quad (2.240)$$

$$\partial_\alpha = \varepsilon \partial_\alpha \quad (2.241)$$

であるから、式 (2.239) は、

$$\partial_t \rho + \partial_\alpha \rho u_\alpha = 0 \quad (2.242)$$

となり、巨視的な連続の式と一致する。

2.3.10.2 運動方程式

ε^1 オーダー と ε^2 オーダーの 運動量に関する格子ボルツマン方程式 (2.172)、(2.195) の和をとり、マルチスケール展開の演算子の定義、式 (2.138)、(2.139) を用いると、

$$\partial_t \rho u_\alpha + \partial_\beta \left\{ \sum_k \Pi_{\alpha\beta}^{(0)} + \left(\frac{1}{2} - \tau(r, b) \right) C_s^2 \rho (\partial_\alpha u_\beta + \partial_\beta u_\alpha) + \tau(r, b) T_{\alpha\beta} \right\} = 0 \quad (2.243)$$

を得る。

二相流に対応する巨視的な運動方程式は

$$\partial_t \rho u_\alpha + \partial_\beta \rho u_\alpha u_\beta = \partial_\beta (-P_{\alpha\beta}) + \partial_\beta [\mu (\partial_\alpha u_\beta + \partial_\beta u_\alpha)] \quad (2.244)$$

であるから、関係式 (2.174)

$$\sum_k (\Pi_{\alpha\beta}^{(0)}) = p \delta_{\alpha\beta} + \rho u_\alpha u_\beta \quad (2.245)$$

および (2.196)

$$\mu = -\left(\frac{1}{2} - \tau(r, b) \right) C_s^2 \rho \quad (2.246)$$

$$\lambda = 0 \quad (2.247)$$

を考慮し、(2.243) と (2.244) の両者を比較することにより、圧力テンソル $P_{\alpha\beta}$ の関係

$$P_{\alpha\beta} = -p \delta_{\alpha\beta} + (-\tau(r, b)) T_{\alpha\beta} \quad (2.248)$$

が得られる。

2.3.11 表面張力

格子ボルツマン方程式から求められる二相流動現象に対応する方程式は

$$\partial_t \rho u_\alpha + \partial_\beta \left\{ \sum_k \Pi_{\alpha\beta}^{(0)} + \left(\frac{1}{2} - \tau(r, b) \right) C_s^2 \rho (\partial_\alpha u_\beta + \partial_\beta u_\alpha) + \sum_k \tau(r, b) T_{\alpha\beta} \right\} = 0 \quad (2.249)$$

であり、 $\Pi_{\alpha\beta}^{(0)}$ は、

$$\Pi_{\alpha\beta}^{(0)} = -p \delta_{\alpha\beta} + \rho u_\alpha u_\beta \quad (2.250)$$

である。

また、圧力テンソル $P_{\alpha\beta}$ は、

$$P_{\alpha\beta} = -p\delta_{\alpha\beta} + \sum_k (-\tau(r, b)) T_{\alpha\beta} \quad (2.251)$$

と定義され、 $T_{\alpha\beta} = \sum_{i\sigma} e_{i\alpha} e_{i\beta} \Omega_i^{k(SF)}$ である。

さらに、表面張力項 $\Omega_i^{k(SF)}$ は

$$\Omega_i^{k(SF)} = A_k |\mathbf{F}| \left[\frac{(\mathbf{e}_i \cdot \mathbf{F})^2}{|\mathbf{e}_i|^2 |\mathbf{F}|^2} - \frac{1}{3} \right] \quad (2.252)$$

となる。

ここで、緩和時間 $\tau_k = \tau(r, b)$ は、赤および青流体の混合状態から決定される。一般には界面の厚さは、平均緩和時間と粒子密度に依存しており、青粒子領域から赤粒子領域へと、あるいは赤粒子領域から青粒子領域へ移るにしたがって、その界面で粘性がスムーズに変化して行くモデルが幾つか提唱されている。

これを実現するために各々の密度に依存する 粒子オーダーパラメータ ψ (Atwood 数) を導入する。

$$\psi = \frac{\rho_r - \rho_b}{\rho_r + \rho_b} \quad (2.253)$$

通常は、 $|\psi| \leq 1$ を仮定し、赤粒子のみ、あるいは青粒子のみの状態では、 $\psi = 1$ または $\psi = -1$ となる。緩和時間係数を滑らかに接続するために、以下のような手法を用いる。

$$\tau = \begin{cases} \tau_r, & \psi > \delta \\ g_r(\psi), & \delta \geq \psi > 0 \\ g_b(\psi), & 0 \geq \psi \geq -\delta \\ \tau_b, & -\delta > \psi \end{cases} \quad (2.254)$$

ここで、 $g_r(\psi)$ 、 $g_b(\psi)$ は ψ の 2 次オーダーの関数であり、

$$g_r(\psi) = \alpha + \beta\psi + \kappa\psi^2 \quad (2.255)$$

$$g_b(\psi) = \alpha + \eta\psi + \zeta\psi^2 \quad (2.256)$$

と定義される。 $|\psi| = \delta$ における境界条件を $g_r(\delta) = \tau_r$ 、 $g_b(-\delta) = \tau_b$ 、 $\frac{\partial \tau}{\partial \psi} = 0$ および、 $g_r(0) = g_b(0) = \langle \tau \rangle$ とすると、

$$\alpha = 2 \frac{\tau_r \tau_b}{\tau_r + \tau_b} \quad (2.257)$$

$$\beta = 2 \frac{\tau_r - \alpha}{\delta} \quad (2.258)$$

$$\kappa = -\frac{\beta}{2\delta} \quad (2.259)$$

$$\eta = 2 \frac{\alpha - \tau_b}{\delta} \quad (2.260)$$

$$\zeta = \frac{\eta}{2\delta} \quad (2.261)$$

となる。ここで、 $\delta \leq 1$ は界面の厚さに関するフリーパラメータ、 $\langle \tau \rangle$ は平均緩和時間 $\langle \tau \rangle = 2\tau_r \tau_b / (\tau_r + \tau_b)$ である。

いま、圧力テンソル $P_{\alpha\beta}$ は、式 (2.251) および (2.252) をもちいて、

$$P_{\alpha\beta} = p\delta_{\alpha\beta} + \tau \sum_k \sum_{i\sigma} e_{i\alpha} e_{i\beta} A_k | \mathbf{F} | \left\{ \frac{(e_{i\alpha} F_\alpha)^2}{e_{i\alpha}^2 F^2} - \frac{1}{3} \right\} \quad (2.262)$$

となる。ここで、 p はバルク圧力である。

$T_{\alpha\beta}$ の計算は、

$$T_{\alpha\beta} = \sum_{i\sigma} e_{i\alpha} e_{i\beta} \Omega_i^{k(SF)} \quad (2.263)$$

$$= \sum_{i\sigma} e_{i\alpha} e_{i\beta} A | \mathbf{F} | \left\{ \frac{(e_{i\gamma} F_\gamma)^2}{e_{i\gamma}^2 F^2} - \frac{1}{3} \right\} \quad (2.264)$$

$$= \sum_{i\sigma} \frac{A}{|\mathbf{F}| C_\sigma^2} [e_{i\alpha} e_{i\beta} e_{i\gamma} e_{i\theta} F_\gamma F_\theta] - \frac{1}{3} A | \mathbf{F} | \sum_{i\sigma} e_{i\alpha} e_{i\beta} \quad (2.265)$$

$$= \frac{A}{|\mathbf{F}|} \left[\left(2 - \frac{16}{3}\right) F_\gamma F_\theta \delta_{\alpha\beta\gamma\theta} + \frac{8}{3} \Delta_{\alpha\beta\gamma\theta} F_\gamma F_\theta \right] - \frac{1}{3} A | \mathbf{F} | \frac{b_\sigma C_\sigma^2}{D} \delta_{\alpha\beta} \quad (2.266)$$

$$= \frac{A}{|\mathbf{F}|} \left[\left(-\frac{10}{3}\right) F_\beta F_\beta \delta_{\alpha\beta} + \frac{8}{3} \delta_{\alpha\beta} F^2 + \frac{8}{3} F_\alpha F_\beta + \frac{8}{3} F_\alpha F_\beta \right] - \frac{10}{3} A | \mathbf{F} | \delta_{\alpha\beta} \quad (2.267)$$

$$= \frac{A}{|\mathbf{F}|} \left[\frac{16}{3} F_\alpha F_\beta - \frac{10}{3} F_\beta F_\beta \delta_{\alpha\beta} \right] - \frac{2}{3} A | \mathbf{F} | \delta_{\alpha\beta} \quad (2.268)$$

となり、圧力テンソルは、

$$P_{\alpha\beta} = p\delta_{\alpha\beta} + \tau \sum_k A | \mathbf{F} | \left[\frac{F_\alpha F_\beta}{|\mathbf{F}|^2} \left(\frac{16}{3} - \frac{10}{3} \delta_{\alpha\beta} \right) - \frac{2}{3} \delta_{\alpha\beta} \right] \quad (2.269)$$

となる。ただし、パラメータ A_k については、 $A_r = A_b = \frac{1}{2} A$ とした事に注意する。

\mathbf{F} は local color gradient であり、

$$\mathbf{F} = \sum_{i\sigma} \mathbf{e}_i (\rho_r(\mathbf{x} + \mathbf{e}_i, t) - \rho_b(\mathbf{x} + \mathbf{e}_i, t)) \quad (2.270)$$

と定義されている。

式 (2.270) を Taylor 展開し 3 次以上の項を無視すると、

$$F_\alpha = \sum_{i\sigma} e_{i\gamma} \left\{ \rho_r + \partial_\alpha e_{i\alpha} \rho_r + \frac{1}{2} \partial_\beta \partial_\alpha e_{i\alpha} e_{i\beta} \rho_r - (\rho_b + \partial_\alpha e_{i\alpha} \rho_b + \frac{1}{2} \partial_\beta \partial_\alpha e_{i\alpha} e_{i\beta} \rho_b) \right\} \quad (2.271)$$

$$= \partial_\alpha 10(\rho_r - \rho_b) \quad (2.272)$$

が得られる。

一方、表面張力の定義は、

$$\sigma = \int (P_n - P_t) dx \quad (2.273)$$

で与えられる。ここで、 P_n は圧力テンソルの界面に平行な方向の成分 P_t は垂直な方向の成分である。

今、 yz 平面上に界面があると仮定する。local color gradient \mathbf{F} は、

$$F_x = F \quad (2.274)$$

$$F_y = 0 \quad (2.275)$$

$$F_z = 0 \quad (2.276)$$

となり、圧力テンソルは、

$$P_{xx} = p - \frac{2}{3}\tau A |\mathbf{F}| + 2\tau A \frac{F^2}{|\mathbf{F}|} \quad (2.277)$$

$$P_{yy} = p - \frac{2}{3}\tau A |\mathbf{F}| \quad (2.278)$$

$$P_{zz} = p - \frac{2}{3}\tau A |\mathbf{F}| \quad (2.279)$$

$$(2.280)$$

となる。よって、表面張力は、

$$\sigma = \int (P_{xx} - P_{yy}) dx \quad (2.281)$$

$$= \int 2\tau A |\mathbf{F}| dx \quad (2.282)$$

となり、式 (2.272)、(2.277)、(2.278) を用ると、表面張力として、

$$\sigma = \int 2\tau A 10 \partial_x (\rho_r - \rho_b) dx \quad (2.283)$$

が得られる。

密度差 $\rho_r - \rho_b$ の関数を、 θ 関数 $\theta(x)$ を用いて

$$f(x) = \rho_r - \rho_b \quad (2.284)$$

$$= (\rho_r + \rho_b)\theta(x_0) - \rho_b \quad (2.285)$$

と仮定すると、

$$\partial_x f(x) = (\rho_r + \rho_b)\delta(x_0) \quad (2.286)$$

となり、最終的な表面張力として、

$$\sigma = \int 20\tau A (\rho_r + \rho_b)\delta(x_0) dx \quad (2.287)$$

$$= 20\tau A (\rho_r + \rho_b) \quad (2.288)$$

が得られる。

3. シミュレーションコードの並列化

3.1 メインプログラム

メインプログラムにおける処理の概略を以下に示す。

```
call read_param
call set_param
call read_init
call read_obsdat
call set_init_data
call read_restart
call set_stream_param
call set_boundary

do 10 iot1 = 1,notmax

    do 20 iot2 = 1,ntmax

        call exchange0
        call stream
        call cal_rho_v
        call collision
        call exchange2
        call cal_omega
        call recoloring
        call set_boundary

    20    continue

        call cal_rho_v
        call open_out_file
        call output_fld1
        call gather
        call filtering
        call restart
        call close_out_file

10    continue
```

まず、サブルーチン `read_param` で格子ボルツマン方程式中のパラメータの入力を行い、サブルーチン `set_param` で各種パラメータの設定、及び 3D15V 格子座標の設定を行う。サブルーチン `read_init` では、計算のステップ数、計算の種類を選択などの計算条件の入力を行う。計算の種類は現在、均質な系からの相分離、気泡の上昇、気泡流が選択可能となっており、密度、入口流速などを入力する。計算格子数は、`common` 文設定用のファイルにおいて `parameter` 文で指定している。サブルーチン `read_obsdat` では、計算領域内の障害物の座標、境界条件の入力を行う。固定壁境界条件の設定もここで行う。サブルーチン `set_init_data` では、計算に使用する変数の初期値設定を行う。リスタート計算の場合は、変数の初期値はサブルーチン `read_restart` により、リスタートファイルから読み込む。サブルーチン `set_stream_param` では、粒子の移動計算について各 PE が受け持つ計算領域の指定を行う。ここでは、計算領域を Fig.3.1 に示すように 4 つの小領域に分割し並列処理を行っている。4 台以上を用いた並列計算も可能であるが、ここでは 4 台を使用する場合について示している。図左側に示すのが計算領域全体であり、右側の小領域を PE0 から PE3 までの 4 台のワークステーションが担当する。各 PE は小領域のデータだけを持ちその処理を行う。小領域には上下に一列ずつ境界データ用の配列を置き、適宜データ転送を行っている。例えば、PE1 の計算領域（白い部分）の底辺の部分のデータを PE0 の計算領域の上面のさらに上部に設けた境界用の配列（灰色の部分）に転送し、PE0 の計算で使用する。

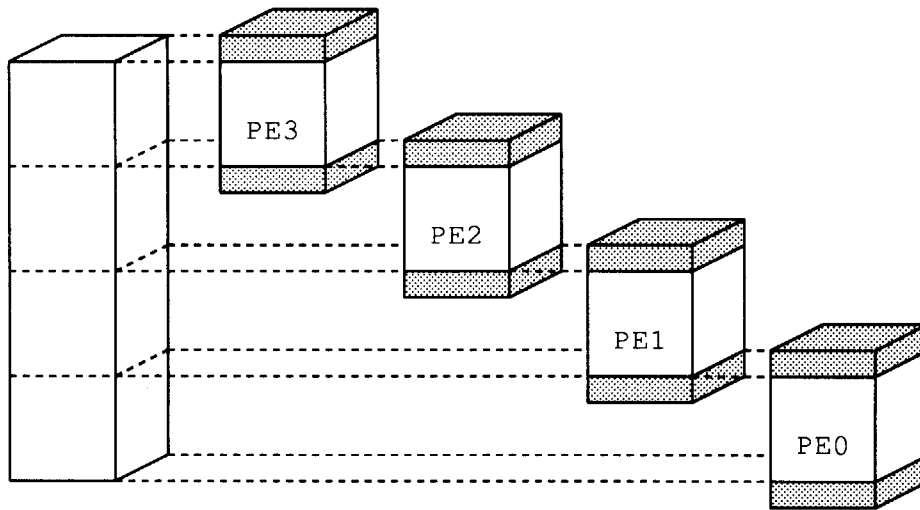


Fig. 3.1 Domain decomposition of the simulation region

サブルーチン `set_boundary` では、流入、流出、周期などの流れの境界条件の設定を行う。以上により、計算の初期状態の設定が終了する。パラメータや計算条件は、一つの入力用データファイルにまとめることも可能であるが、現在は、処理毎に分けて入力している。

`do 10` のループで格子ボルツマン法による流れ場の時間発展の計算を行う。 `notmax` は流れ場のデータを出力する回数である。内側の `do 20` のループは計算の 1 タイムステップに相当する処理であり、 `ntmax` はタイムステップ何回毎に流れ場のデータを出力する処理を行うかを示すものである。 `notmax` 及び `ntmax` は、サブルーチン `read_init` において入力するものである。

do 20 のループでは、まず、サブルーチン exchange0 において計算に使用する変数配列の転送を行う。ただし、計算領域内部の値のみとし、上下の境界については転送処理は行わない。サブルーチン stream は分布関数の格子上の移動を PE 毎に計算する。サブルーチン cal_rho_v では、格子点での分布関数からその点での密度と速度を計算する。ここで求めた密度と速度は、以下の計算で平衡分布関数を求める際に使用する。サブルーチン collision では、格子ボルツマン方程式の衝突項、すなわち平衡分布への緩和過程の計算を行う。サブルーチン exchange2 では、格子点の密度について領域境界の値を転送する。この密度情報は、粒子配置の空間変化を計算する際に使用する。サブルーチン cal_omega では、格子点近傍の粒子配置の空間変化から、衝突項のうちの表面張力に関わる項を計算し、サブルーチン recoloring では、格子点での同色の分布関数の再配置を計算する。サブルーチン set_boundary では、流入、流出、壁などの境界条件の設定を行う。do 20 のループの内側が、計算の 1 タイムステップの処理に相当し、計算を ntnmax ステップ進めてループを出ると、流れ場の処量を 1 回出力する。

流れ場の出力にあたっては、まず、サブルーチン cal_rho_v で格子点での密度と速度を計算する。次にサブルーチン open_out_file で、出力用ファイルのオープンを行い、サブルーチン output_fid1 で AVS でデータを読み込むためのフィールドファイルを出力する。サブルーチン gather では、各 PE が持つ格子点の密度と速度を PE0 に集めている。サブルーチン filtering では、計算のパラメータと密度と速度から圧力や体積率などの出力に必要な処量を計算し、出力する。サブルーチン restart では、計算に必要なデータをリスタートファイルに出力し、サブルーチン close_out_file でファイルのクローズを行い一つの流れ場を求める処理を終了する。リスタート用データは、プロセッサ毎に別々のファイル（ディスク）に書きだし、リスタート計算ではそれを読み込むようにしている。

以下では、格子ボルツマン法により流れ場を求めるための計算の主要なサブルーチンとして exchange0、stream、cal_rho_v、collision、exchange2、cal_omega、recoloring、set_boundary、gather、filtering の処理について記述する。

3.2 データ転送 : サブルーチン exchange0

サブルーチン exchange0 では、以下に示すように各 PE で計算に使用する分布関数の配列のうち、計算領域内部の境界の値についての転送を行う。転送量を減らすため、境界上の格子点のデータ全てではなく、計算に関係する方向の値のみを転送する。すなわち、PE0 の上部の境界用配列には下向きの方のデータだけを PE1 の計算領域の底面から転送する。これは、PE1 の底面のデータのうち下向きの速度を持つものしか PE0 の上部に関わってこないためである。なお、ここでは、計算領域上下の境界については転送処理は行わない。以下に処理の主要な部分を示す。

```
do 270 ij=1,npe-1
  i=ij+1
```

```

if(i.eq.npe) i=1

if((iam.eq.i).or.(iam.eq.i-1)) then

  ideso=i-iam+i-1

  if(iam.eq.i) then
    jz=0
    do 250 jy=-1,lymax
      do 250 jx=-1,lxmax
        wsend(1,jx,jy) = red(6,jx,jy,jz)
        wsend(2,jx,jy) = red(8,jx,jy,jz)
        wsend(3,jx,jy) = red(9,jx,jy,jz)
        wsend(4,jx,jy) = red(12,jx,jy,jz)
        wsend(5,jx,jy) = red(13,jx,jy,jz)
        wsend(6,jx,jy) = blue(6,jx,jy,jz)
        wsend(7,jx,jy) = blue(8,jx,jy,jz)
        wsend(8,jx,jy) = blue(9,jx,jy,jz)
        wsend(9,jx,jy) = blue(12,jx,jy,jz)
        wsend(10,jx,jy)= blue(13,jx,jy,jz)
250    continue
      else
        jz=nlzmax-1
        do 260 jy=-1,lymax
          do 260 jx=-1,lxmax
            wsend(1,jx,jy) = red(5,jx,jy,jz)
            wsend(2,jx,jy) = red(7,jx,jy,jz)
            wsend(3,jx,jy) = red(10,jx,jy,jz)
            wsend(4,jx,jy) = red(11,jx,jy,jz)
            wsend(5,jx,jy) = red(14,jx,jy,jz)
            wsend(6,jx,jy) = blue(5,jx,jy,jz)
            wsend(7,jx,jy) = blue(7,jx,jy,jz)
            wsend(8,jx,jy) = blue(10,jx,jy,jz)
            wsend(9,jx,jy) = blue(11,jx,jy,jz)
            wsend(10,jx,jy) = blue(14,jx,jy,jz)
260    continue
          endif

          nsend=10*(lxmax+2)*(lymax+2)

```

```

nrecv=nsend

call mpi_sendrecv(wsend(1,-1,-1),nsend,
c                mpi_double_precision,ideso,1,
c                wrecv(1,-1,-1),nrecv,
c                mpi_double_precision,ideso,1,
c                mpi_comm_world,istatus,ierr)

if(iam.eq.i) then
  jz=-1
  do 240 jy=-1,lymax
  do 240 jx=-1,lxmax
    red(5,jx,jy,jz) = wrecv(1,jx,jy)
    red(7,jx,jy,jz) = wrecv(2,jx,jy)
    red(10,jx,jy,jz) = wrecv(3,jx,jy)
    red(11,jx,jy,jz) = wrecv(4,jx,jy)
    red(14,jx,jy,jz) = wrecv(5,jx,jy)
    blue(5,jx,jy,jz) = wrecv(6,jx,jy)
    blue(7,jx,jy,jz) = wrecv(7,jx,jy)
    blue(10,jx,jy,jz) = wrecv(8,jx,jy)
    blue(11,jx,jy,jz) = wrecv(9,jx,jy)
    blue(14,jx,jy,jz) = wrecv(10,jx,jy)
240  continue
  else
    jz=nlzmax
    do 230 jy=-1,lymax
    do 230 jx=-1,lxmax
      red(6,jx,jy,jz) = wrecv(1,jx,jy)
      red(8,jx,jy,jz) = wrecv(2,jx,jy)
      red(9,jx,jy,jz) = wrecv(3,jx,jy)
      red(12,jx,jy,jz) = wrecv(4,jx,jy)
      red(13,jx,jy,jz) = wrecv(5,jx,jy)
      blue(6,jx,jy,jz) = wrecv(6,jx,jy)
      blue(8,jx,jy,jz) = wrecv(7,jx,jy)
      blue(9,jx,jy,jz) = wrecv(8,jx,jy)
      blue(12,jx,jy,jz) = wrecv(9,jx,jy)
      blue(13,jx,jy,jz) = wrecv(10,jx,jy)
230  continue
endif

```

```
endif
```

```
270 continue
```

ここで、`npe` は計算に使用する PE の数、あるいは計算機の台数である。`iam` は PE の番号であり、4 台の場合、0、1、2、3 となる。隣合う PE の場合にデータを転送するため、この処理は、0-1、1-2、2-3 のあいだでのみ行われる。`ideso` は転送の相手先の番号となる。`red(i,jx,jy,jz)`、`blue(i,jx,jy,jz)` はそれぞれ赤粒子、青粒子の格子点 (jx,jy,jz) における i 方向の分布関数の値である。計算領域は jz 方向に分割してあり、PE の受け持つ計算領域の範囲は、 jx 方向が $0 \sim lx_{max}-1$ 、 jy 方向が $0 \sim ly_{max}-1$ 、 jz 方向が $0 \sim nlz_{max}-1$ であり、外側に境界を 1 格子おいている。`wsend(i,jx,jy)`、`wrecv(i,jx,jy)` はそれぞれ送信用、受信用の作業用配列である。プログラム中では 3D15V の格子の方向を 5、7、10、11、14 が上向き、6、8、9、12、13 が下向きとしており、上の PE からは領域底面の下向きの方向のデータ、下の PE からは領域上面の上向きの方向のデータを転送することになる。転送では赤青粒子のデータを送信用配列にまとめ、`mpi_sendrecv` を用い送信と受信を同時に行い、受信したデータを境界の格子点のデータとしてに配列に格納している。

3.3 移動：サブルーチン stream

サブルーチン `stream` では、格子点の分布関数の隣の格子点への移動を計算する。

```
do 11 id = 1,14
  do 20 iz = iz_start(id),iz_last(id),iz_step(id)
    do 30 iy = iy_start(id),iy_last(id),iy_step(id)
      do 40 ix = ix_start(id),ix_last(id),ix_step(id)
        red(id,ix+ix_add(id),iy+iy_add(id),iz+iz_add(id))
&          = red(id,ix,iy,iz)
        blue(id,ix+ix_add(id),iy+iy_add(id),iz+iz_add(id))
&          = blue(id,ix,iy,iz)
      40          continue
    30          continue
  20          continue
11  continue
```

ここでは、3D15V 格子の中心を除く 14 方向について x 、 y 、 z 方向に `start` から `last` まで `step` ずつデータを移動させ上書きしていく。上書きのため、移動は格子の方向のもっとも下流

側から行う。また、PE内での移動の計算だけなので転送は行わない。start、last、stepの値は、PE毎にサブルーチン set_stream_param において設定したものである。

3.4 密度と速度：サブルーチン cal_rho_v

ここでは格子点の分布関数の値からマクロな流れの変数である密度と速度を計算する。計算の主要な部分を以下に示す。

```

do 40 iz = iam*nlzmax,(iam+1)*nlzmax-1
  izz=iz-iam*nlzmax
  do 30 iy = -1,lymax
    do 20 ix = -1,lxmax

      rho_red(ix,iy,iz) = 0.d0
      rho_blue(ix,iy,iz) = 0.d0

      do 10 id = 14, 0, -1
        rho_red(ix,iy,iz) = red(id,ix,iy,izz)
&          + rho_red(ix,iy,iz)
        rho_blue(ix,iy,iz) = blue(id,ix,iy,izz)
&          + rho_blue(ix,iy,iz)
10      continue

      rho = rho_red(ix,iy,iz) + rho_blue(ix,iy,iz)

      vx(ix,iy,iz) = 0.d0
      vy(ix,iy,iz) = 0.d0
      vz(ix,iy,iz) = 0.d0

      if (rho .gt. 0.d0) then

        djx_red = 0.d0
        djy_red = 0.d0
        djz_red = 0.d0
        djx_blue = 0.d0
        djy_blue = 0.d0
        djz_blue = 0.d0

        do 50 id = 14, 0, -1

```

```

djx_red = dex(id)*red(id,ix,iy,izz) + djx_red
djy_red = dey(id)*red(id,ix,iy,izz) + djy_red
djz_red = dez(id)*red(id,ix,iy,izz) + djz_red

djx_blue = dex(id)*blue(id,ix,iy,izz)
&          + djx_blue
djy_blue = dey(id)*blue(id,ix,iy,izz)
&          + djy_blue
djz_blue = dez(id)*blue(id,ix,iy,izz)
&          + djz_blue

50          continue

vx(ix,iy,iz) = (djx_red + djx_blue)/rho
vy(ix,iy,iz) = (djy_red + djy_blue)/rho
vz(ix,iy,iz) = (djz_red + djz_blue)/rho

```

マクロな変数である密度、rho_red(ix,iy,iz)とrho_blue(ix,iy,iz)、及び速度、vx(ix,iy,iz)、vy(ix,iy,iz)、vz(ix,iy,iz)、については、PE 毎のデータ分割は行わず、処理の分割だけを行っている。このため、z 方向のループの開始と終了を示すインデックスは、PE の番号に応じて変化している。

3.5 衝突項：サブルーチン collision

サブルーチン collision では、以下に示すようにまず平衡分布関数と緩和時間を計算し、衝突項の計算を行う。一つの格子点上での計算であるため、データ転送は行わない。

```

do 10 iz = 0,nlzmax-1
  iw = iz+iam*nlzmax
  do 20 iy = 0,lymax-1
    do 30 ix = 0,lxmax-1

      r_r = rho_red(ix,iy,iw)
      r_b = rho_blue(ix,iy,iw)

      vvx = vx(ix,iy,iw)
      vvy = vy(ix,iy,iw)
      vvz = vz(ix,iy,iw)

```

```

do 60 id = 0,14

    call cal_feq
    &      (
    &      vvx,vvy,vvz,
    &      r_r,r_b,
    &      id,
    &      feq_red,feq_blue
    &      )

    tau_red = tau_red_org
    tau_blue = tau_blue_org

    psi = (rho_red(ix,iy,iw) - rho_blue(ix,iy,iw))/
    &      (rho_red(ix,iy,iw) + rho_blue(ix,iy,iw))

    if (psi .gt. delta) then
        tu = tau_red_org
    elseif ((psi .gt. 0.0).and.(psi .le. delta)) then
        tu = alpha + beta*psi + dkappa*psi*psi
    elseif ((psi .ge. -1.0*delta).and.(psi .le. 0.d0)) then
        tu = alpha + eta*psi + xi*psi*psi
    elseif (psi .lt. -1.0*delta) then
        tu = tau_blue_org
    endif

    tau_red = tu
    tau_blue = tu

    red(id,ix,iy,iz) = red(id,ix,iy,iz) -
    &      (red(id,ix,iy,iz) - feq_red)/tau_red

    blue(id,ix,iy,iz) = blue(id,ix,iy,iz) -
    &      (blue(id,ix,iy,iz) - feq_blue)/tau_blue

60      continue
30      continue
20      continue
10      continue

```

do 60 のループで呼ぶサブルーチン cal_feq は格子点の密度と速度から平衡分布関数を求めるものである。緩和過程のパラメータである緩和時間 (tu) は、それぞれの相の値の間の内挿により求めている。

3.6 転送 : サブルーチン exchange2

サブルーチン exchange2 では、各 PE が受け持つ領域の境界の密度データを隣の PE に転送する。上下方向が周期境界の場合、一番上の PE の上部境界のデータを一番下の PE の下部へ転送する。流出境界や流入境界の場合は転送を行う必要はない。転送用の作業配列として wsend(i,jx,jy)、wrecv(i,jx,jy) を使用している。転送終了後、境界データの矩形領域の4つの辺にあたるデータ、及び4つのコーナーにあたるデータを、周期境界条件として処理している。

```

if(iam.eq.0.or.iam.eq.npe-1) then

  ideso=npe-1-iam

  if(iam.eq.0) then
    jz= 0
  else
    jz= lzmax-1
  endif
  do 350 jy=-1,lymax
    do 350 jx=-1,lxmax
      wsend(1,jx,jy) = rho_red(jx,jy,jz)
      wsend(2,jx,jy) = rho_blue(jx,jy,jz)
350  continue

      nsend=2*(lxmax+2)*(lymax+2)
      nrecv=nsend

      call mpi_sendrecv(wsend(1,-1,-1),nsend,
c                               mpi_double_precision,ideso,1,
c                               wrecv(1,-1,-1),nrecv,
c                               mpi_double_precision,ideso,1,
c                               mpi_comm_world,istatus,ierr)

      if(iam.eq.0) then
        jz=-1
      else

```

```
    jz= lzmax
endif

do 340 jy=-1,lymax
do 340 jx=-1,lxmax
rho_red(jx,jy,jz) = wrecv(1,jx,jy)
rho_blue(jx,jy,jz) = wrecv(2,jx,jy)
340 continue

rho_red(lxmax,lymax,jz) = rho_red(0,0,jz)
rho_red(lxmax,-1,jz)    = rho_red(0,lymax-1,jz)
rho_red(-1,lymax,jz)   = rho_red(lxmax-1,0,jz)
rho_red(-1,-1,jz)     = rho_red(lxmax-1,lymax-1,jz)

rho_blue(lxmax,lymax,jz) = rho_blue(0,0,jz)
rho_blue(lxmax,-1,jz)    = rho_blue(0,lymax-1,jz)
rho_blue(-1,lymax,jz)   = rho_blue(lxmax-1,0,jz)
rho_blue(-1,-1,jz)     = rho_blue(lxmax-1,lymax-1,jz)

do 100 ix = 0,lxmax-1

rho_red(ix,lymax,jz) = rho_red(ix,0,jz)
rho_red(ix,-1,jz)    = rho_red(ix,lymax-1,jz)

rho_blue(ix,lymax,jz) = rho_blue(ix,0,jz)
rho_blue(ix,-1,jz)    = rho_blue(ix,lymax-1,jz)

100 continue

do 160 iy = 0,lymax-1

rho_red(lxmax,iy,jz) = rho_red(0,iy,jz)
rho_red(-1,iy,jz)    = rho_red(lxmax-1,iy,jz)

rho_blue(lxmax,iy,jz) = rho_blue(0,iy,jz)
rho_blue(-1,iy,jz)    = rho_blue(lxmax-1,iy,jz)

160 continue
```

```

endif

do 270 ij=1,npe-1
  i=ij+1
  if(i.eq.npe) i=1

  if((iam.eq.i).or.(iam.eq.i-1)) then

    ideso=i-iam+i-1

    if(iam.eq.i) then
      jz=nlzmax*iam
      do 250 jy=-1,lymax
        do 250 jx=-1,lxmax
          wsend(1,jx,jy) = rho_red(jx,jy,jz)
          wsend(2,jx,jy) = rho_blue(jx,jy,jz)
250    continue
        else
          jz=nlzmax*(iam+1)-1
          do 260 jy=-1,lymax
            do 260 jx=-1,lxmax
              wsend(1,jx,jy) = rho_red(jx,jy,jz)
              wsend(2,jx,jy) = rho_blue(jx,jy,jz)
260    continue
        endif

        nsend=2*(lxmax+2)*(lymax+2)
        nrecv=nsend

        call mpi_sendrecv(wsend(1,-1,-1),nsend,
c                               mpi_double_precision,ideso,1,
c                               wrecv(1,-1,-1),nrecv,
c                               mpi_double_precision,ideso,1,
c                               mpi_comm_world,istatus,ierr)

        if(iam.eq.i) then
          jz=nlzmax*iam-1
          do 240 jy=-1,lymax
            do 240 jx=-1,lxmax

```

```

rho_red(jx,jy,jz) = wrecv(1,jx,jy)
rho_blue(jx,jy,jz) = wrecv(2,jx,jy)
240  continue
    else
        jz=nlzmax*(iam+1)
        do 230 jy=-1,lymax
            do 230 jx=-1,lxmax
                rho_red(jx,jy,jz) = wrecv(1,jx,jy)
                rho_blue(jx,jy,jz) = wrecv(2,jx,jy)
230      continue
            endif
        endif

    endif

270  continue

    else

        rho_red(lxmax,lymax,-1) = rho_red(0,0,lzmax-1)
        rho_red(lxmax,-1,-1)     = rho_red(0,lymax-1,lzmax-1)
        rho_red(-1,lymax,-1)     = rho_red(lxmax-1,0,lzmax-1)
        rho_red(-1,-1,-1)       = rho_red(lxmax-1,lymax-1,lzmax-1)
        rho_red(lxmax,lymax,nlzmax) = rho_red(0,0,nlzmax)
        rho_red(lxmax,-1,nlzmax)   = rho_red(0,lymax-1,nlzmax)
        rho_red(-1,lymax,nlzmax)   = rho_red(lxmax-1,0,nlzmax)
        rho_red(-1,-1,nlzmax)     = rho_red(lxmax-1,lymax-1,nlzmax)

        rho_blue(lxmax,lymax,-1) = rho_blue(0,0,lzmax-1)
        rho_blue(lxmax,-1,-1)     = rho_blue(0,lymax-1,lzmax-1)
        rho_blue(-1,lymax,-1)     = rho_blue(lxmax-1,0,lzmax-1)
        rho_blue(-1,-1,-1)       = rho_blue(lxmax-1,lymax-1,lzmax-1)
        rho_blue(lxmax,lymax,nlzmax) = rho_blue(0,0,nlzmax)
        rho_blue(lxmax,-1,nlzmax)   = rho_blue(0,lymax-1,nlzmax)
        rho_blue(-1,lymax,nlzmax)   = rho_blue(lxmax-1,0,nlzmax)
        rho_blue(-1,-1,nlzmax)     = rho_blue(lxmax-1,lymax-1,nlzmax)

        do 800 ix = 0,lxmax-1

            rho_red(ix,lymax,-1) = rho_red(ix,0,lzmax-1)

```

```

rho_red(ix,-1,-1)    = rho_red(ix,lymax-1,lzmax-1)
rho_red(ix,lymax,nlzmax) = rho_red(ix,0,nlzmax)
rho_red(ix,-1,nlzmax)    = rho_red(ix,lymax-1,nlzmax)

```

```

rho_blue(ix,lymax,-1) = rho_blue(ix,0,lzmax-1)
rho_blue(ix,-1,-1)    = rho_blue(ix,lymax-1,lzmax-1)
rho_blue(ix,lymax,nlzmax) = rho_blue(ix,0,nlzmax)
rho_blue(ix,-1,nlzmax)    = rho_blue(ix,lymax-1,nlzmax)

```

800 continue

```

do 880 iy = 0,lymax-1
do 880 ix = 0,lxmax-1

```

```

rho_red(ix,iy,-1) = rho_red(ix,iy,lzmax-1)
rho_red(ix,iy,lzmax) = rho_red(ix,iy,0)

```

```

rho_blue(ix,iy,-1) = rho_blue(ix,iy,lzmax-1)
rho_blue(ix,iy,lzmax) = rho_blue(ix,iy,0)

```

880 continue

```

do 860 iy = 0,lymax-1

```

```

rho_red(lxmax,iy,-1) = rho_red(0,iy,lzmax-1)
rho_red(-1,iy,-1)    = rho_red(lxmax-1,iy,lzmax-1)
rho_red(lxmax,iy,lzmax) = rho_red(0,iy,0)
rho_red(-1,iy,lzmax)    = rho_red(lxmax-1,iy,0)

```

```

rho_blue(lxmax,iy,-1) = rho_blue(0,iy,lzmax-1)
rho_blue(-1,iy,-1)    = rho_blue(lxmax-1,iy,lzmax-1)
rho_blue(lxmax,iy,lzmax) = rho_blue(0,iy,0)
rho_blue(-1,iy,lzmax)    = rho_blue(lxmax-1,iy,0)

```

860 continue

80 continue

endif

```

do 120 iz = 0,nlzmax-1

    rho_red(lxmax,lymax,iz) = rho_red(0,0,iz)
    rho_red(lxmax,-1,iz)    = rho_red(0,lymax-1,iz)
    rho_red(-1,lymax,iz)    = rho_red(lxmax-1,0,iz)
    rho_red(-1,-1,iz)       = rho_red(lxmax-1,lymax-1,iz)

    rho_blue(lxmax,lymax,iz) = rho_blue(0,0,iz)
    rho_blue(lxmax,-1,iz)    = rho_blue(0,lymax-1,iz)
    rho_blue(-1,lymax,iz)    = rho_blue(lxmax-1,0,iz)
    rho_blue(-1,-1,iz)       = rho_blue(lxmax-1,lymax-1,iz)

do 130 ix = 0,lxmax-1
    rho_red(ix,lymax,iz) = rho_red(ix,0,iz)
    rho_red(ix,-1,iz)    = rho_red(ix,lymax-1,iz)

    rho_blue(ix,lymax,iz) = rho_blue(ix,0,iz)
    rho_blue(ix,-1,iz)    = rho_blue(ix,lymax-1,iz)

130    continue

do 140 iy = 0,lymax-1

    rho_red(lxmax,iy,iz) = rho_red(0,iy,iz)
    rho_red(-1,iy,iz)    = rho_red(lxmax-1,iy,iz)

    rho_blue(lxmax,iy,iz) = rho_blue(0,iy,iz)
    rho_blue(-1,iy,iz)    = rho_blue(lxmax-1,iy,iz)

140    continue

120    continue

```

3.7 表面張力 : サブルーチン cal_omega

サブルーチン cal_omega では、二相の界面でのみ作用する表面張力の項を計算する。

```

call cal_f

do 10 iz = 0,nlzmax-1
    iw=iz+iam*nlzmax
    do 20 iy = 0,lymax-1
        do 30 ix = 0,lxmax-1

            F2 = vx(ix,iy,iw)*vx(ix,iy,iw)
&             + vy(ix,iy,iw)*vy(ix,iy,iw)
&             + vz(ix,iy,iw)*vz(ix,iy,iw)
            F = dsqrt(F2)

            fi(0,ix,iy,iz) = A*F*(1.d0/3.d0 - H)
&             + fi(0,ix,iy,iz)

            do 60 id = 1,14

                ef = vx(ix,iy,iw)*dex(id)
&                 + vy(ix,iy,iw)*dey(id)
&                 + vz(ix,iy,iw)*dez(id)

                cs2 = dex(id)*dex(id)
&                 + dey(id)*dey(id)
&                 + dez(id)*dez(id)

                fi(id,ix,iy,iz) =
&                 A*F*(ef*ef/(F2*cs2) - H)
&                 + fi(id,ix,iy,iz)

60             continue
30         continue
20     continue
10  continue

```

サブルーチン cal_f は格子点での x,y,z 各方向における二相の密度差、すなわち色の勾配を計算し配列 vx(ix,iy,iw)、vy(ix,iy,iw)、vz(ix,iy,iw) に格納するものである。したがってここでは vx、vy、vz は速度成分を表す変数ではない。F は色の勾配の絶対値、dex(id)、dey(id)、dez(id) はそれぞれ、格子方向 id の単位ベクトルの x、y、z 方向の大きさであり、cs2 は大き

さの絶対値の二乗である。色の勾配を用いて表面張力の効果を計算し、分布関数に作用させる。
 $f_i(id, ix, iy, iz)$ は赤粒子と青粒子の分布関数の和である。

3.8 粒子の再配置 : サブルーチン recoloring

サブルーチン recoloring では、二相界面近傍の格子点での粒子の再配置を行う。再配置は運動量の方向が粒子の色の勾配の方向と一致するように行う。この時、格子点におけるそれぞれの色の粒子密度及び全運動量は保存される。

```

do 10 iz = 0, nlzmax-1
  iw = iz + iam * nlzmax
  do 20 iy = 0, lymax-1
    do 30 ix = 0, lxmax-1

      rho_r = 0.d0

      do 40 id = 0, 14

        cs2 = dex(id)*dex(id)
        &      + dey(id)*dey(id)
        &      + dez(id)*dez(id)
        cs = dsqrt(cs2)

        if (id .eq. 0) cs = 1.d0

        edf(id) = (vx(ix, iy, iw)*dex(id)
        &          + vy(ix, iy, iw)*dey(id)
        &          + vz(ix, iy, iw)*dez(id))/cs

        ib(id) = id

40      continue

      do 200 iroop = 13, 0, -1
        do 210 id = 0, iroop

          if (edf(ib(id+1)) - edf(ib(id))
          &      .gt. cri) then
            itmp = ib(id+1)

```

```

        ib(id+1) = ib(id)
        ib(id) = itmp
        end if
210         continue
200         continue

do 150 id = 0,14
        red(id,ix,iy,iz) = 0.d0
        blue(id,ix,iy,iz) = 0.d0
150         continue

rho_r = 0.d0
rho_check = 0.d0

do 70 id = 0,14

        rho_check = rho_r + fi(ib(id),ix,iy,iz)

        if ( rho_red(ix,iy,iw) - rho_check
&         .ge. 0.d0) then
                red(ib(id),ix,iy,iz)
&                 = fi(ib(id),ix,iy,iz)
                rho_r = red(ib(id),ix,iy,iz) + rho_r
        else
                if (rho_red(ix,iy,iw) - rho_r
&                 .ge. 0.d0) then
                        red(ib(id),ix,iy,iz)
&                         = rho_red(ix,iy,iw) - rho_r
                        rho_r = rho_r + red(ib(id),ix,iy,iz)
                else if (dabs(rho_r - rho_red(ix,iy,iw))
&                       .lt. cri) then
                        red(ib(id),ix,iy,iz)
&                         = 0.d0
                else
                        red(ib(id),ix,iy,iz)
&                         = 0.d0
                endif
        end if
end if

```

```

                                blue(ib(id),ix,iy,iz) =
&                                fi(ib(id),ix,iy,iz)
&                                - red(ib(id),ix,iy,iz)

70                                continue

                                endif
30                                continue
20                                continue
10                                continue

```

ここで、edf(id) は id 方向の色の勾配の大きさであり、do 200 のループで、格子の方向を色の勾配の大きい方から順に並べている。do 70 のループでは、色の勾配の大きい方向から順に、全分布関数を越えない範囲で赤粒子の分布関数の再配置を行い、残りを青粒子の分布関数の値としている。

3.9 境界条件 : サブルーチン set_boundary

ここでは、PE 毎に計算領域側面の境界条件を周期境界として変数の設定を行う。全計算領域上下の境界条件が、周期境界条件である場合は、側面の処理の前に上下の境界のデータを転送し合う必要がある。上下面の境界条件には、流出、流入なども設定可能であるが、以下には周期境界条件の場合のプログラムを示す。サブルーチン exchange0、exchange2 と同様、転送時には作業用配列 wsend、wrecv を使用している。

```

if(npe.ne.1) then

    if(iam.eq.0.or.iam.eq.npe-1) then

        ideso=npe-1-iam

        if(iam.eq.0) then
            jz=0
        else
            jz=nlzmax-1
        endif
    endif

```

```

do 350 jy=-1,lymax
do 350 jx=-1,lxmax
do 330 id=1,15
wsend(id,jx,jy) = red(id-1,jx,jy,jz)
330 continue
do 340 id=16,30
wsend(id,jx,jy) = blue(id-16,jx,jy,jz)
340 continue
350 continue

nsend=30*(lxmax+2)*(lymax+2)
nrecv=nsend

call mpi_sendrecv(wsend(1,-1,-1),nsend,
c                 mpi_double_precision,ideso,1,
c                 wrecv(1,-1,-1),nrecv,
c                 mpi_double_precision,ideso,1,
c                 mpi_comm_world,istatus,ierr)

if(iam.eq.0) then
  jz=-1
  else
  jz=nlzmax
endif

do 450 jy=-1,lymax
do 450 jx=-1,lxmax
do 440 id=1,15
red(id-1,jx,jy,jz) = wrecv(id,jx,jy)
440 continue
do 430 id=16,30
blue(id-16,jx,jy,jz) = wrecv(id,jx,jy)
430 continue
450 continue

do 10 id = 0,14

red(id,lxmax,lymax,jz) = red(id,0,0,jz)

```

```
red(id,lxmax,-1,jz) = red(id,0,lymax-1,jz)
red(id,-1,lymax,jz) = red(id,lxmax-1,0,jz)
red(id,-1,-1,jz) = red(id,lxmax-1,lymax-1,jz)
```

```
blue(id,lxmax,lymax,jz) = blue(id,0,0,jz)
blue(id,lxmax,-1,jz) = blue(id,0,lymax-1,jz)
blue(id,-1,lymax,jz) = blue(id,lxmax-1,0,jz)
blue(id,-1,-1,jz) = blue(id,lxmax-1,lymax-1,jz)
```

10 continue

```
do 100 ix = 0,lxmax-1
do 100 id = 0,14
```

```
red(id,ix,lymax,jz) = red(id,ix,0,jz)
red(id,ix,-1,jz) = red(id,ix,lymax-1,jz)
```

```
blue(id,ix,lymax,jz) = blue(id,ix,0,jz)
blue(id,ix,-1,jz) = blue(id,ix,lymax-1,jz)
```

100 continue

```
do 160 iy = 0,lymax-1
do 160 id = 0,14
```

```
red(id,lxmax,iy,jz) = red(id,0,iy,jz)
red(id,-1,iy,jz) = red(id,lxmax-1,iy,jz)
```

```
blue(id,lxmax,iy,jz) = blue(id,0,iy,jz)
blue(id,-1,iy,jz) = blue(id,lxmax-1,iy,jz)
```

160 continue

endif

else

```
do 80 id = 0,14
```

```

red(id,lxmax,lymax,-1) = red(id,0,0,lzmax-1)
red(id,lxmax,-1,-1) = red(id,0,lymax-1,lzmax-1)
red(id,-1,lymax,-1) = red(id,lxmax-1,0,lzmax-1)
red(id,-1,-1,-1) = red(id,lxmax-1,lymax-1,lzmax-1)
red(id,lxmax,lymax,lzmax) = red(id,0,0,0)
red(id,lxmax,-1,lzmax) = red(id,0,lymax-1,0)
red(id,-1,lymax,lzmax) = red(id,lxmax-1,0,0)
red(id,-1,-1,lzmax) = red(id,lxmax-1,lymax-1,0)

```

```

blue(id,lxmax,lymax,-1) = blue(id,0,0,lzmax-1)
blue(id,lxmax,-1,-1) = blue(id,0,lymax-1,lzmax-1)
blue(id,-1,lymax,-1) = blue(id,lxmax-1,0,lzmax-1)
blue(id,-1,-1,-1) = blue(id,lxmax-1,lymax-1,lzmax-1)
blue(id,lxmax,lymax,lzmax) = blue(id,0,0,0)
blue(id,lxmax,-1,lzmax) = blue(id,0,lymax-1,0)
blue(id,-1,lymax,lzmax) = blue(id,lxmax-1,0,0)
blue(id,-1,-1,lzmax) = blue(id,lxmax-1,lymax-1,0)

```

80 continue

```

do 800 ix = 0,lxmax-1
do 800 id = 0,14

```

```

red(id,ix,lymax,-1) = red(id,ix,0,lzmax-1)
red(id,ix,-1,-1) = red(id,ix,lymax-1,lzmax-1)
red(id,ix,lymax,lzmax) = red(id,ix,0,0)
red(id,ix,-1,lzmax) = red(id,ix,lymax-1,0)

```

```

blue(id,ix,lymax,-1) = blue(id,ix,0,lzmax-1)
blue(id,ix,-1,-1) = blue(id,ix,lymax-1,lzmax-1)
blue(id,ix,lymax,lzmax) = blue(id,ix,0,0)
blue(id,ix,-1,lzmax) = blue(id,ix,lymax-1,0)

```

800 continue

```

do 880 iy = 0,lymax-1
do 880 ix = 0,lxmax-1
do 880 id = 0,14

```

```

red(id,ix,iy,-1) = red(id,ix,iy,lzmax-1)

```

```
red(id,ix,iy,lzmax) = red(id,ix,iy,0)

blue(id,ix,iy,-1) = blue(id,ix,iy,lzmax-1)
blue(id,ix,iy,lzmax) = blue(id,ix,iy,0)

880      continue

do 860 iy = 0,lymax-1
do 860 id = 0,14

red(id,lxmax,iy,-1) = red(id,0,iy,lzmax-1)
red(id,-1,iy,-1) = red(id,lxmax-1,iy,lzmax-1)
red(id,lxmax,iy,lzmax) = red(id,0,iy,0)
red(id,-1,iy,lzmax) = red(id,lxmax-1,iy,0)

blue(id,lxmax,iy,-1) = blue(id,0,iy,lzmax-1)
blue(id,-1,iy,-1) = blue(id,lxmax-1,iy,lzmax-1)
blue(id,lxmax,iy,lzmax) = blue(id,0,iy,0)
blue(id,-1,iy,lzmax) = blue(id,lxmax-1,iy,0)

860      continue

endif

do 120 iz = 0,nlzmax-1
do 30 id=0,14

red(id,lxmax,lymax,iz) = red(id,0,0,iz)
red(id,lxmax,-1,iz) = red(id,0,lymax-1,iz)
red(id,-1,lymax,iz) = red(id,lxmax-1,0,iz)
red(id,-1,-1,iz) = red(id,lxmax-1,lymax-1,iz)

blue(id,lxmax,lymax,iz) = blue(id,0,0,iz)
blue(id,lxmax,-1,iz) = blue(id,0,lymax-1,iz)
blue(id,-1,lymax,iz) = blue(id,lxmax-1,0,iz)
blue(id,-1,-1,iz) = blue(id,lxmax-1,lymax-1,iz)

30      continue
120     continue
```

```

do 130 iz = 0,nlzmax-1
do 130 ix = 0,lxmax-1
do 130 id=0,14
    red(id,ix,lymax,iz) = red(id,ix,0,iz)
    red(id,ix,-1,iz) = red(id,ix,lymax-1,iz)

    blue(id,ix,lymax,iz) = blue(id,ix,0,iz)
    blue(id,ix,-1,iz) = blue(id,ix,lymax-1,iz)

130     continue

do 140 iz = 0,nlzmax-1
do 140 iy = 0,lymax-1
do 140 id=0,14

    red(id,lxmax,iy,iz) = red(id,0,iy,iz)
    red(id,-1,iy,iz) = red(id,lxmax-1,iy,iz)

    blue(id,lxmax,iy,iz) = blue(id,0,iy,iz)
    blue(id,-1,iy,iz) = blue(id,lxmax-1,iy,iz)

140     continue

```

3.10 出力データ集約 : サブルーチン gather

ここでは、各 PE で計算した密度及び速度データをルートプロセッサに集約し、出力の準備をする。

```

call mpi_gather(rho_red(-1,-1,nlzmax*iam),
c             (lxmax+2)*(lymax+2)*nlzmax,
c             mpi_double_precision,
c             rho_red(-1,-1,nlzmax*iam),
c             (lxmax+2)*(lymax+2)*nlzmax,
c             mpi_double_precision,
c             0,mpi_comm_world,ierr)
call mpi_gather(rho_blue(-1,-1,nlzmax*iam),
c             (lxmax+2)*(lymax+2)*nlzmax,

```

```

c          mpi_double_precision,
c          rho_blue(-1,-1,nlzmax*iam),
c          (lxmax+2)*(lymax+2)*nlzmax,
c          mpi_double_precision,
c          0,mpi_comm_world,ierr)
      call mpi_gather(vx(-1,-1,nlzmax*iam),
c          (lxmax+2)*(lymax+2)*nlzmax,
c          mpi_double_precision,
c          vx(-1,-1,nlzmax*iam),
c          (lxmax+2)*(lymax+2)*nlzmax,
c          mpi_double_precision,
c          0,mpi_comm_world,ierr)
      call mpi_gather(vy(-1,-1,nlzmax*iam),
c          (lxmax+2)*(lymax+2)*nlzmax,
c          mpi_double_precision,
c          vy(-1,-1,nlzmax*iam),
c          (lxmax+2)*(lymax+2)*nlzmax,
c          mpi_double_precision,
c          0,mpi_comm_world,ierr)
      call mpi_gather(vz(-1,-1,nlzmax*iam),
c          (lxmax+2)*(lymax+2)*nlzmax,
c          mpi_double_precision,
c          vz(-1,-1,nlzmax*iam),
c          (lxmax+2)*(lymax+2)*nlzmax,
c          mpi_double_precision,
c          0,mpi_comm_world,ierr)

```

rho_red、rho_blue は、それぞれ赤粒子、青粒子の密度であり、vx、vy、vz はそれぞれ x、y、z 方向の速度である。これらの出力用変数の配列は PE 毎に分割していないため、ルートプロセッサに集約し出力している。これは、大きな気泡や液滴の計算において、全計算領域のデータから表面張力などを求める処理を行っているためである。通常の流れ場を計算するだけであれば、計算中にデータの集約をする必要はなく、各 PE 毎に出力する方が転送時間は節約できる。

3.11 データ出力 : サブルーチン filtering

ここでは、サブルーチン gather で集約したデータを出力する。出力にあたっては、指定した格子点数だけの空間平均を行っている。このサブルーチンでは密度と速度から、適宜、圧力、界面積濃度、体積率などを計算し出力することが可能である。以下では、速度と密度についてのみの処理を示す。

```

do 10 iiz= 0, lzmax/num_zave -1
  do 20 iiy= 0, lymin/num_yave -1
    do 30 iix= 0, lxmax/num_xave -1

      ncount = 0

      rho_red_sum = 0.d0
      rho_blue_sum = 0.d0

      vx_sum = 0.d0
      vy_sum = 0.d0
      vz_sum = 0.d0

      do 40 ix = num_xave*iix, num_xave*(iix+1)-1
        do 50 iy= num_yave*iiy, num_yave*(iiy+1)-1
          do 60 iz= num_zave*iiz, num_zave*(iiz+1)-1

            rho_red_sum
&              = rho_red(ix,iy,iz) + rho_red_sum
            rho_blue_sum
&              = rho_blue(ix,iy,iz) + rho_blue_sum

            vx_sum
&              = vx(ix,iy,iz) + vx_sum
            vy_sum
&              = vy(ix,iy,iz) + vy_sum
            vz_sum
&              = vz(ix,iy,iz) + vz_sum

            ncount = ncount + 1

60          continue
50        continue
40      continue

      rho_red_ave = rho_red_sum/ncount
      rho_blue_ave = rho_blue_sum/ncount

      vx_ave = vx_sum/ncount

```

```

vy_ave = vy_sum/ncount
vz_ave = vz_sum/ncount

      atwood = (rho_red_ave - rho_blue_ave)/
c          (rho_red_ave + rho_blue_ave)

      write(ioutfile,1008)
c          vx_ave,vy_ave,vz_ave,atwood
1008 format(4(f7.4,1x))

30      continue
20      continue
10     continue

```

ここで、lxmax、lymax、lzmax はそれぞれ x、y、z 方向の格子数であり、num_xave、num_yave、num_zave は空間平均を行う格子数である。赤青の密度 rho_red(ix,iy,iz)、rho_blue(ix,iy,iz) と x、y、z 方向の速度 vx(ix,iy,iz)、vy(ix,iy,iz)、vz(ix,iy,iz) を空間平均し、rho_red_ave、rho_blue_ave、vx_ave、vy_ave、vz_ave とし、平均密度から Atwood 数を算出し、それらを出力している。

4. 並列計算

4.1 上昇気泡のシミュレーション

並列計算の実行例として外力の影響のもとに上昇する単一気泡及び二つの気泡のシミュレーションを示す。計算領域は単一気泡の場合は $x \times y \times z = 80 \times 80 \times 200$ であり、二つの気泡の場合、 $x \times y \times z = 80 \times 80 \times 480$ である。初期条件として静止した青相を領域内に満たしておき、半径10の赤相の球を計算領域下方におく。密度は赤、青とも2.6とする。境界条件は、側面は周期境界条件とし、上面は流出境界、底面は滑りなし壁の境界条件とした。

Fig.4.1に単一気泡の場合、4.2に二つの気泡の場合の流れ場の様子を示す。図の実線は界面の位置を赤相と青相の密度が等しくなる点とし、計算領域の高さ方向の中心軸を通る平面内で等高線を描いたものである。背景の濃淡は流れ場の流速に対応しており、気泡左右に見られる濃い部分は下降流が生じている領域、気泡上下の明るい部分は上昇流が生じている領域である。ただし、Fig.4.2において気泡下部に見られる暗い部分は明るい部分より高速の上昇流領域を示している。

Fig.4.1では、気泡が変形しながら上昇し、気泡両側に渦が発生する様子が見られるが、これは2次元の格子ガス法を用いて行った計算 [7, 8] と同様の結果となっている。気泡径に基づく Reynolds 数は18.6、Etvos 数は11.5、Morton 数は0.00396と求められるが、これらの無次元数の範囲は回転楕円体状（上下に潰れた球形）の気泡に対応することが知られており [10]、妥当な結果となっている。Fig.4.2では、下方の気泡が上方の気泡より早く上昇し、上方の気泡に追い付くことにより合体する様子がわかる。合体前後も含めて、これらの上昇気泡の挙動は、同一の条件ではないものの実験によって観察されているものと定性的に一致しており [11]、計算プログラム及び並列化は問題なく行われていると考えることができる。

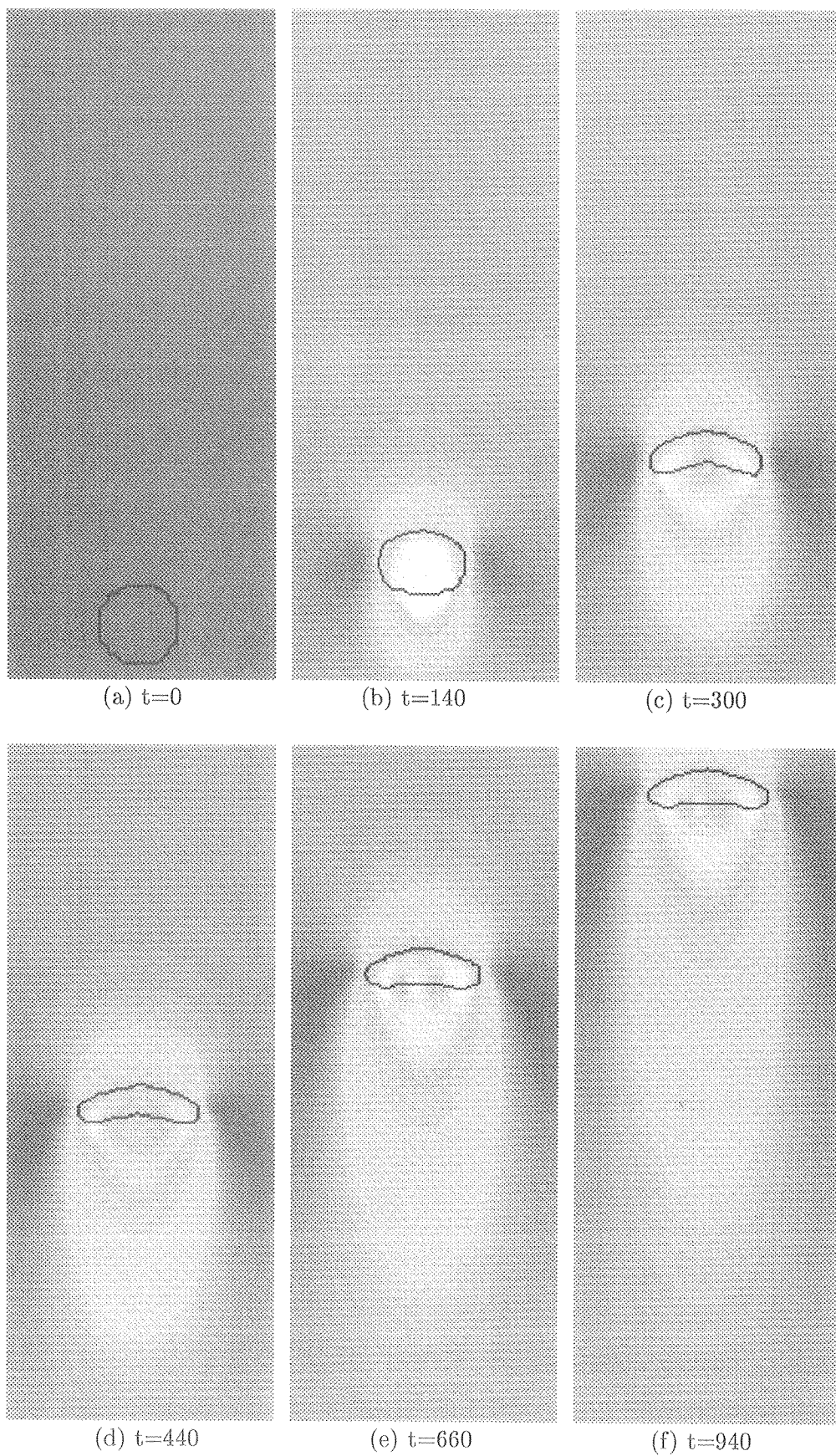


Fig. 4.1 Simulation of single rising bubble

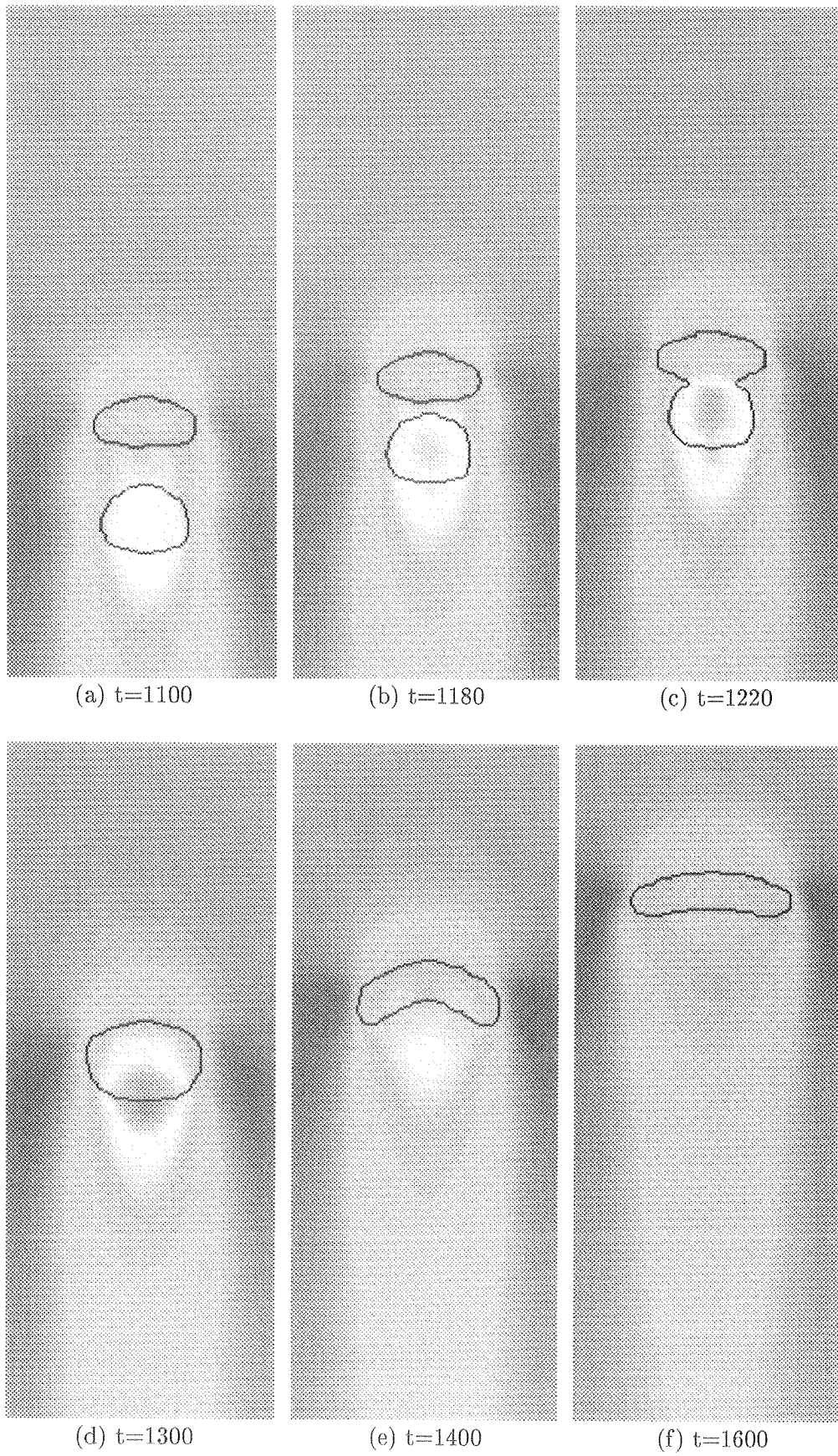


Fig. 4.2 Simulation of two rising bubbles

4.2 並列化効率

ワークステーションクラスターでの計算時間の測定結果の例を以下に示す。計算時間は、上昇気泡のシミュレーションにおいて、計算格子数を $20 \times 20 \times 120$ としたものと $80 \times 80 \times 120$ としたものについて、20ステップ毎に流れ場を出力することを5回繰り返して計算全体の経過時間として測定したものである。流れ場の計算では、 $2 \times 2 \times 2$ の格子毎に空間平均を行っている。使用したワークステーションの機種はDEC au600 (alpha 21164: 600MHz)、またはCOMPAQ XP1000 (alpha 21264: 500MHz)である。ワークステーションの台数はそれぞれの機種について1~4台であり、ルートワークステーションでの測定時間とした。いずれの計算も、ワークステーション上にはOS関係以外のプロセスがない状態で行った。領域分割は全て均等な分割とした。コンパイルリンクにはそれぞれ純正のUnix上でDigital Fortran、及び並列計算環境パッケージDigital PSEのMPIを使用した。

Table 4.1 Calculation time on workstation cluster

計算機	DEC au600				COMPAQ XP1000			
	20 x 20 x 120		80 x 80 x 120		20 x 20 x 120		80 x 80 x 120	
	(秒)	(倍)	(秒)	(倍)	(秒)	(倍)	(秒)	(倍)
1台	217.41	1.000	3450.95	1.000	115.34	1.000	1870.77	1.000
2台	109.09	1.993	1795.13	1.922	59.05	1.953	976.40	1.916
3台	73.62	2.953	1226.48	2.814	39.72	2.904	691.25	2.706
4台	54.48	3.991	964.04	3.580	30.64	3.765	538.25	3.476

まず、1台の計算では、DEC au600よりも、COMPAQ XP1000が1.8倍ほど早いことがわかる。これは、本シミュレーションに対しての、ワークステーション単体の性能である。並列計算による速度向上率は、いずれの機種も計算規模の小さいケースの方が大きくなっており、データ転送の影響が大きいことがわかる。並列化は1方向の領域分割を行っており、本シミュレーションでは格子数120の方向が分割されている。データ転送は 20×20 、あるいは 80×80 の平面に対して行われるため、ここで比較している2つのケースでは転送量は16倍異なることになる。データ転送は100Mb/sのイーサネットを通して行われるため転送量が並列化効率に及ぼす影響は大きく、計算規模が大きいケースでは転送の影響が健在化したものと考えられる。並列化効率は計算規模により変わるものの、数台からなるワークステーションクラスターを用いる場合においては、実用上十分な速度向上とみなすことができる。

同じ計算規模、同じ台数において、機種の違いを比べると、早い機種の方が速度向上率は低下している。これは、計算処理が高速に行われることにより、ネットワークの速度に規定されるデータ転送の影響が相対的に大きく現れたものと考えられる。ワークステーションクラスター

は、スーパーコンピュータに比べ安価であり、小さな研究グループで使う場合、取り扱いが容易な点で便利ではあるが、プロセッサの性能が高くなるほどネットワークの性能も考慮した構成を考える必要があることがわかる。

4.3 異なるタイプのワークステーションからなるクラスターの場合

前節では DEC au600、あるいは COMPAQ XP1000 を 4 台まで用いた計算結果を示したが、ここでは、それらを同時に使用した 8 台のワークステーションからなるクラスターによる並列計算を行う。まず、領域分割は等分割としたまま 2 台から 8 台まで台数を増やした場合の計算時間を以下に示す。

Table 4.2 Calculation time with different workstations

計算格子	20 x 20 x 120		80 x 80 x 120	
	(秒)	(倍)	(秒)	(倍)
2 台	112.48	1.000	1751.94	1.000
4 台	54.60	2.060	959.94	1.825
6 台	35.86	3.137	662.04	2.646
8 台	28.31	3.973	518.43	3.379

ここで 2 台とは DEC au600 と COMPAQ XP1000 を 1 台ずつ使用することであり、4 台とは 2 台ずつ、6 台とは 3 台ずつ、8 台とはそれぞれ 4 台ずつを使用するということである。まず、2 台、4 台のケースで見ると、いずれも、DEC au600 の機種を 2 台、4 台用いた場合の計算時間と、ほぼ同じになっており、早い機種を混在させた効果は現れていない。ここでは、領域分割を均等に行っているため、早い機種が所定の計算を先に終えてもデータ転送の段階で遅い機種の計算が終了するのを待っている必要があるためである。このため、計算時間は遅い機種のものとなっている。したがって 6 台、8 台を用いた場合の計算時間は DEC au600 を 6 台、8 台用いたものと同じと考えられる。

そこで、計算領域の大きさを DEC au600 と COMPAQ XP1000 とで変えた計算を行った結果が、次の表に示すものである。ここでは、DEC au600 に割り当てる計算領域の大きさに対して、COMPAQ XP1000 に対しては factor をかけた大きさを割り当てるものとする。すなわち、factor が 2 であれば、XP 1000 は DEC au600 の 2 倍の大きさの計算領域を計算することになる。それぞれの機種を 4 台ずつ、全て使用している。

Table 4.3 Effect of the difference in domain size

計算格子	20 x 20 x 120		80 x 80 x 120	
	(秒)	(倍)	(秒)	(倍)
factor=1.00	28.07	1.000	513.11	1.000
factor=1.14	26.60	0.948	499.10	0.973
factor=1.31	25.23	0.899	461.70	0.900
factor=1.50	23.16	0.825	438.43	0.854
factor=1.73	22.57	0.804	405.36	0.790
factor=2.00	22.85	0.814	388.47	0.757
factor=2.33	23.45	0.835	396.07	0.772
factor=2.75	24.04	0.856	407.11	0.793
factor=3.29	24.84	0.885	419.02	0.817

計算速度の倍率は factor=1 の計算時間を基準としたものである。単体性能が 1.8 倍程度であったため、計算領域の大きさも 1.7～2 倍程度にとると最も計算時間が短くなることがわかる。ただし、最適な factor の値は計算領域全体の大きさに依存しているため、本プログラムにおいては、指定された計算領域の大きさを基に計算の始めに最適な factor の値を計算することとした。

ここでは、factor=1.00 として粒子の移動に関わる計算を数ステップ分実行し、その平均の経過時間を DEC au600 と COMPAQ XP1000 とで測り、比をとることにより最適な factor の値とした。この方法により求めた factor の値と計算時間は、小さい規模の計算に対して 2.27、23.19 秒、大きい規模の計算に対して 1.91、393.55 秒であった。これらは、何回かの測定の中の最小の計算時間のケースであるが、ばらつきは 1% 以下であった。これは小さい規模の計算に対しては、DEC au600 の 1 台の場合を基準とすると速度向上率は 9.375 倍、COMPAQ XP1000 を基準とすると 4.974 倍となる。大きい規模の計算に対しては DEC au600 を基準とすると 8.769 倍、COMPAQ XP1000 を基準とすると 4.754 倍となる。計算効率はずしも満足な値ではないが、既存のワークステーションを利用して並列計算を行い、ある程度速度向上をはかり、かつ多くのメモリーを使用するような場合、本手法は簡便な手段の一つであると考えられる。

より計算効率の高い動的負荷分散を目指すことも可能であるが、本プログラムではそこまでは行っていない。それは、本プログラムが多数のプロダクションランを行うためではなく、今後のモデル開発、あるいは多様な流れ場の計算のためのベースとして開発されているためであり、プログラムの主要な部分の変更が見込まれるためである。

5. まとめ

本報告書では、格子ボルツマン法による3次元二成分二相流シミュレーションコードの開発と、MPIライブラリを用いた並列化について記述した。ワークステーションクラスターは4台のDEC au600及び4台のCOMPAQ XP1000を100Baseイーサネットによりスイッチングハブを介して接続したものである。ネットワークが遅いため、計算規模が大きくなりデータ転送量が増えるにつれて並列計算効率は低下したが、性能、価格、使い勝手等を考慮すると、ワークステーションクラスターによる並列計算は十分実用に耐えるものと思われる。また、本報告書では、研究室などにある様々なワークステーションを利用することを想定して、異なるワークステーションからなるクラスターを用いて、計算速度の違いに応じた領域分割を含む並列計算を試みた。簡便で効率が良く、かつプログラム変更にも柔軟に対応できる負荷分散の手法を検討することは、今後の重要な課題である。

なお、本報告書で使用した格子ボルツマン二相流シミュレーションコードは、(財)電力中央研究所との共同研究「気液二相流のマイクロ/マクロ・モデルによる解析に関する研究」及び筑波大学との協力研究「超音波による二相流制御に関する研究」において使用するものである。

参考文献

- [1] 数值流体力学編集委員会編：“数值流体力学シリーズ5”、東京大学出版会、東京（1995）。
- [2] G. A. Bird: “Molecular Gas Dynamics and the Direct Simulation of Gas Flows”, (Clarendon, Oxford, 1994).
- [3] 上田 顕：“コンピュータシミュレーション”、朝倉書店、東京（1990）。
- [4] D. H. Rothman and S. Zaleski: “Lattice-gas models of phase separation: interfaces, phase transitions, and multiphase flow,” Rev. Mod. Phys., **66**, 1417(1994).
- [5] 矢部 孝、観山 正見、椛島 成治：“パソコンによるシミュレーション物理”、朝倉書店、東京（1992）。
- [6] 矢部 孝、川田 重夫、福田 昌宏：“シミュレーション物理入門”、朝倉書店、東京（1989）。
- [7] 渡辺 正、海老原 健一、蕪木 英雄：“非浸透格子ガスモデルによる二相流シミュレーションコードの開発並びに並列化”、JAERI-Data/Code 97-056(1998)。
- [8] 渡辺 正、海老原 健一、加藤 克海：“ワークステーションクラスターによる格子ガス二相流シミュレーションコードの並列計算”、JAERI-Data/Code 99-029(1999)。
- [9] D. Grunau, S. Chen, and K.Eggert: “A lattice Boltzmann model for multiphase fluid flows,” Phys. Fluids A **5** (10), 2557 (1993)。
- [10] R.Clift, et al.: “Bubbles, Drops, and Particles”, (Academic Press, New York, 1978).
- [11] J. R. Crabtree and J. Bridgwater: “Bubble coalescence in viscous liquids,” Chem. Eng. Sci. **26**, 839 (1971).

This is a blank page.

国際単位系 (SI) と換算表

表1 SI基本単位および補助単位

量	名称	記号
長さ	メートル	m
質量	キログラム	kg
時間	秒	s
電流	アンペア	A
熱力学温度	ケルビン	K
物質質量	モル	mol
光度	カンデラ	cd
平面角	ラジアン	rad
立体角	ステラジアン	sr

表3 固有の名称をもつSI組立単位

量	名称	記号	他のSI単位による表現
周波数	ヘルツ	Hz	s ⁻¹
力	ニュートン	N	m·kg/s ²
圧力, 応力	パスカル	Pa	N/m ²
エネルギー, 仕事, 熱量	ジュール	J	N·m
工率, 放射束	ワット	W	J/s
電気量, 電荷	クーロン	C	A·s
電位, 電圧, 起電力	ボルト	V	W/A
静電容量	ファラド	F	C/V
電気抵抗	オーム	Ω	V/A
コンダクタンス	ジーメン	S	A/V
磁束	ウェーバ	Wb	V·s
磁束密度	テスラ	T	Wb/m ²
インダクタンス	ヘンリー	H	Wb/A
セルシウス温度	セルシウス度	°C	
光束度	ルーメン	lm	cd·sr
照射度	ルクス	lx	lm/m ²
放射能	ベクレル	Bq	s ⁻¹
吸収線量	グレイ	Gy	J/kg
線量当量	シーベルト	Sv	J/kg

表2 SIと併用される単位

名称	記号
分, 時, 日	min, h, d
度, 分, 秒	°, ', "
リットル	l, L
トン	t
電子ボルト	eV
原子質量単位	u

1 eV = 1.60218 × 10⁻¹⁹ J
1 u = 1.66054 × 10⁻²⁷ kg

表4 SIと共に暫定的に維持される単位

名称	記号
オングストローム	Å
バ	b
バール	bar
ガリ	Gal
キュリー	Ci
レントゲン	R
ラド	rad
レム	rem

1 Å = 0.1 nm = 10⁻¹⁰ m
1 b = 100 fm = 10⁻²⁸ m²
1 bar = 0.1 MPa = 10⁵ Pa
1 Gal = 1 cm/s² = 10⁻² m/s²
1 Ci = 3.7 × 10¹⁰ Bq
1 R = 2.58 × 10⁻⁴ C/kg
1 rad = 1 cGy = 10⁻² Gy
1 rem = 1 cSv = 10⁻² Sv

表5 SI接頭語

倍数	接頭語	記号
10 ¹⁸	エクサ	E
10 ¹⁵	ペタ	P
10 ¹²	テラ	T
10 ⁹	ギガ	G
10 ⁶	メガ	M
10 ³	キロ	k
10 ²	ヘクト	h
10 ¹	デカ	da
10 ⁻¹	デシ	d
10 ⁻²	センチ	c
10 ⁻³	ミリ	m
10 ⁻⁶	マイクロ	μ
10 ⁻⁹	ナノ	n
10 ⁻¹²	ピコ	p
10 ⁻¹⁵	フェムト	f
10 ⁻¹⁸	アト	a

(注)

- 表1-5は「国際単位系」第5版、国際度量衡局 1985年刊行による。ただし、1 eV および 1 uの値はCODATAの1986年推奨値によった。
- 表4には海里、ノット、アール、ヘクタールも含まれているが日常の単位なのでここでは省略した。
- barは、JISでは流体の圧力を表わす場合に限り表2のカテゴリーに分類されている。
- EC閣僚理事会指令ではbar, barnおよび「血圧の単位」mmHgを表2のカテゴリーに入れている。

換算表

力	N (=10 ⁵ dyn)	kgf	lbf
	1	0.101972	0.224809
	9.80665	1	2.20462
	4.44822	0.453592	1

粘度 1 Pa·s (N·s/m²) = 10 P (ポアズ) (g/(cm·s))

動粘度 1 m²/s = 10⁴ St (ストークス) (cm²/s)

圧	MPa (=10 bar)	kgf/cm ²	atm	mmHg (Torr)	lbf/in ² (psi)
	1	10.1972	9.86923	7.50062 × 10 ³	145.038
力	0.0980665	1	0.967841	735.559	14.2233
	0.101325	1.03323	1	760	14.6959
	1.33322 × 10 ⁻⁴	1.35951 × 10 ⁻³	1.31579 × 10 ⁻³	1	1.93368 × 10 ⁻²
	6.89476 × 10 ⁻³	7.03070 × 10 ⁻²	6.80460 × 10 ⁻²	51.7149	1

エネルギー・仕事・熱量	J (=10 ⁷ erg)	kgf·m	kW·h	cal (計量法)	Btu	ft·lbf	eV
	1	0.101972	2.77778 × 10 ⁻⁷	0.238889	9.47813 × 10 ⁻⁴	0.737562	6.24150 × 10 ¹⁸
	9.80665	1	2.72407 × 10 ⁻⁶	2.34270	9.29487 × 10 ⁻³	7.23301	6.12082 × 10 ¹⁹
	3.6 × 10 ⁶	3.67098 × 10 ⁵	1	8.59999 × 10 ⁵	3412.13	2.65522 × 10 ⁶	2.24694 × 10 ²⁵
	4.18605	0.426858	1.16279 × 10 ⁻⁶	1	3.96759 × 10 ⁻³	3.08747	2.61272 × 10 ¹⁹
	1055.06	107.586	2.93072 × 10 ⁻⁴	252.042	1	778.172	6.58515 × 10 ²¹
	1.35582	0.138255	3.76616 × 10 ⁻⁷	0.323890	1.28506 × 10 ⁻³	1	8.46233 × 10 ¹⁸
	1.60218 × 10 ⁻¹⁹	1.63377 × 10 ⁻²⁰	4.45050 × 10 ⁻²⁶	3.82743 × 10 ⁻²⁰	1.51857 × 10 ⁻²²	1.18171 × 10 ⁻¹⁹	1

1 cal = 4.18605 J (計量法)
= 4.184 J (熱化学)
= 4.1855 J (15 °C)
= 4.1868 J (国際蒸気表)
仕事率 1 PS (仏馬力)
= 75 kgf·m/s
= 735.499 W

放射能	Bq	Ci
	1	2.70270 × 10 ⁻¹¹
	3.7 × 10 ¹⁰	1

吸収線量	Gy	rad
	1	100
	0.01	1

照射線量	C/kg	R
	1	3876
	2.58 × 10 ⁻⁴	1

線量当量	Sv	rem
	1	100
	0.01	1

格子ボルツマン法による二相流シミュレーションコードの開発並びに並列化